

4. Гантмахер Ф.Р. Лекции по аналитической механике. М.: Наука, 1966. 300 с.
5. Маркушевич В.М., Цемахман А.С. D-постоянные среды и рэлеевские волны в них на характерных частотах. I. Пуассоновы среды. // Современные методы интерпретации сейсмологических данных. М.: Наука, 1991. С. 149–157. (Вычисл. сейсмология; вып. 24).
6. Маркушевич В.М., Стеблов Г.М., Цемахман А.С. Аналитическое описание волн Рэлея в некоторых средах непуассонова типа. Ibid. С. 158–171.
7. Маркушевич В.М., Стеблов Г.М., Цемахман А.С. Быстрый метод матричного пропагатора для градиентных сред // Геодинамика и прогноз землетрясений. Наст. вып.
8. Лурье А.И. Пространственные задачи теории упругости. М.: ГТТИ, 1955. 492 с.
9. Партон В.З., Перлин П.И. Методы математической теории упругости. М.: Наука, 1981. 687 с.
10. Мак-Коннел А.Дж. Введение в тензорный анализ. М.: Физматгиз, 1963. 412 с.
11. Зильберглейт А.С., Копилевич Ю.И. Спектральная теория регулярных волноводов. Л.: ЛФТИ АН СССР, 1983. 301 с.
12. Ворovich И.И., Бабешко В.А. Динамические смешанные задачи теории упругости для неклассических областей. М.: Наука, 1979. 320 с.

УДК 512.3+517.5+550.34

## **РАЦИОНАЛЬНЫЕ АППРОКСИМАЦИИ, УСТОЙЧИВЫЕ МНОГОЧЛЕНЫ И РАССЛОЕНИЯ В ЗАДАЧЕ ПОИСКА САМОГО ШИРОКОГО ВОЛНОВОДА**

*М.Л. Гервер*

### **RATIONAL APPROXIMANTS, STABLE POLYNOMIALS AND FIBERINGS IN THE SEARCH FOR THE WIDEST WAVEGUIDE**

*M.L. Gerver*

A complete mathematical study is presented for an extremum problem that has arisen in the development of the fast search algorithm yielding the widest waveguide.

Предлагаемая работа – продолжение [1–3]. Так же, как в [1–3], знаки « » выделяют начало и конец доказательств. Ссылки типа <sup>(1)</sup> отсылают к комментариям и примечаниям в конце статьи.

Поиск скоростной функции с самым широким волноводом среди функций, имеющих один и тот же годограф, приводит к задаче о верхней грани функционала  $h(f)$ , точно сформулированной в п. 1.1. Геофизическая интерпретация дана в п. 1.2. В статье проведено полное математическое исследование задачи.

Развитые методы и полученные результаты применяются в [4] к исследованию более общей экстремальной задачи. Решения обеих задач используются в разработке быстрых алгоритмов для определения границ неединственности при обращении годографа.

Забегая вперед, опишем (в самых общих чертах) основной результат статьи. Точная формулировка и доказательство даны в разд. 11.

Задачу о верхней грани  $h(f)$  удастся сформулировать следующим образом. В  $R^N$  вводится отношение частичной упорядоченности  $X^* \prec X$ ;  $\Omega$  – многомерная область:  $\Omega \subset R^N$ ; в замыкании  $\bar{\Omega}$  задана функция  $h$ . Для каждой точки  $X \in \Omega$  нужно найти  $\sup h(X^*)$  по всем  $X^* \in \bar{\Omega}$ ,  $X^* \prec X$ .

Решение получено в следующей форме. Указано множество максимумов  $\mathcal{M} \subset \bar{\Omega}$ ;

для разности  $G = \Omega \setminus \mathcal{M}$  построено расслоение  $G$  *маркированными полупрямыми*: через каждую точку  $X \in G$  проходит ровно одна полупрямая  $\mathcal{L}$ ; на каждой полупрямой  $\mathcal{L}$  отмечена начальная точка (*маркер*); все маркеры составляют множество  $\mathcal{M}_0 \subset \mathcal{M}$ . Полупрямую  $\mathcal{L}$  с маркером  $X_0$ , содержащую  $X$ , обозначим  $\mathcal{L}(X_0, X)$ . Тогда искомая верхняя грань равна  $h(X)$  при  $X \in \Omega \cap \mathcal{M}$  и равна  $h(X_0)$  при  $X \in \mathcal{L}(X_0, X) \cap G$ .

## 1. ПОСТАНОВКА ЗАДАЧИ

**1.1. Задача о верхней грани  $h(f)$ .** Рассмотрим множество  $\mathcal{F}$  положительных неубывающих ступенчатых функций с интегралом 1. Множество  $\mathcal{F}$  естественно разбивается на подмножества  $\{f\}_n$  функций с  $n$  ступеньками. Пусть  $f \in \{f\}_n$  принимает значения  $f_j$  на отрезках длины  $h_j$ :

$$0 < f_1 < \dots < f_n; \quad h_j > 0, \quad 1 \leq j \leq n; \quad f_1 h_1 + \dots + f_n h_n = 1. \quad (1.1)$$

Положим  $a_j = f_j h_j$ ,  $s_j = f_j^2$ , так что

$$0 < s_1 < \dots < s_n; \quad a_j > 0, \quad 1 \leq j \leq n; \quad a_1 + \dots + a_n = 1. \quad (1.2)$$

Набор из  $2n$  параметров  $a_j, s_j$ , удовлетворяющих соотношениям (1.2), обозначим  $(a, s)$ , а множество таких наборов назовем  $\mathfrak{N}_n$ :

$$(a, s) = \{a_1, \dots, a_n, s_1, \dots, s_n\} \in \mathfrak{N}_n. \quad (1.3)$$

Функции из  $\{f\}_n$  можно характеризовать как параметрами (1.1), так и параметрами (1.2.), т.е.  $\{f\}_n$  и  $\mathfrak{N}_n$  – одно и то же множество, только заданное в разных координатах.

Сопоставим каждому набору (1.3) рациональную функцию

$$g(z) = g(z, a, s) = a_1 / (z + s_1) + \dots + a_n / (z + s_n), \quad z \in [0, 1], \quad (1.4)$$

и определим на  $\mathcal{F}$  следующее *отношение частичной упорядоченности* (его геофизический смысл раскрывается в п. 1.2, геометрическая интерпретация дана в разд. 8). Пусть

$$f^* \in \{f\}_q \Leftrightarrow (a^*, s^*) \in \mathfrak{N}_q \Leftrightarrow g^*(z) = a_1^* / (z + s_1^*) + \dots + a_q^* / (z + s_q^*). \quad (1.5)$$

Тогда  $f^*$  *предшествует*  $f$  ( $f^* \prec f$ ), если  $g^*(z) \leq g(z)$  при  $0 \leq z \leq 1$ .

Множество всех функций  $f^* \in \mathcal{F}$ , предшествующих  $f$ , обозначим  $\Pi(f)$ :

$$\Pi(f) = \{f^* \in \mathcal{F} \mid f^* \prec f \Leftrightarrow g^*(z) \leq g(z), \quad z \in [0, 1]\}. \quad (1.6)$$

Сумму длин ступенек  $h_j$  в (1.1) назовем  $h(f)$ . С учетом (1.2)

$$h = h(f) = h(a, s) = a_1 / \sqrt{s_1} + \dots + a_n / \sqrt{s_n}. \quad (1.7)$$

Аналогично:  $h^* = h(f^*) = h(a^*, s^*) = a_1^* / \sqrt{s_1^*} + \dots + a_q^* / \sqrt{s_q^*}$ .

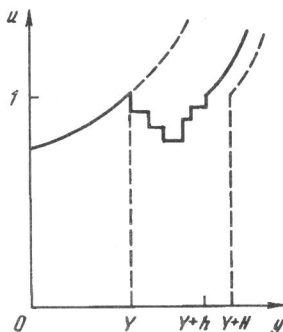
При разработке алгоритма быстрого поиска самого широкого волновода [1, 2] возникает *задача отыскания верхней грани*

$$\sup h(f^*), \quad f^* \in \Pi(f). \quad (1.8)$$

Кратко напомним ее физический смысл.

**1.2. Геофизическая интерпретация задачи.** Рассмотрим скоростную функцию  $u(y)$ ,  $y \geq 0$ , имеющую ровно один волновод  $Y < y < Y + h$  (если волноводов несколько, последующее построение нужно провести в каждом из них). Положим  $1/u(Y) = Q$ .

Пусть  $u(y)$  кусочно-постоянна в волноводе и принимает там  $n$  значений  $u_j$  на отрезках длины  $h_j$ ,  $h_1 + \dots + h_n = h$ . Занумеровав значения  $u_j$  в порядке убывания ( $1/Q >$



Р и с. 1

$> u_1 > \dots > u_n > 0$ ) и положив  $f_j = \sqrt{u_j^{-2} - Q^2}$ , сопоставим  $u(y)$ ,  $y \in (Y, Y + h)$ , положительную неубывающую ступенчатую функцию  $f$  со значениями  $f_j$  на ступеньках длины  $h_j$ ,  $1 \leq j \leq n$ . Положим  $f_1 h_1 + \dots + f_n h_n = \sigma$ .

**Нормировка  $u(y)$ .** Выберем масштабы на осях  $u$ ,  $y$  так, чтобы

$$Q = \sigma = 1. \quad (1.9)$$

Множество так нормированных кусочно-постоянных функций, задающих скорость в волноводе, обозначим  $\{u\}_n$ ; объединение  $\{u\}_1 \cup \{u\}_2 \cup \dots$  назовем  $\mathcal{U}$ . Нормировка (1.9) приводит к отображению

$$\mathcal{U} \rightarrow \mathcal{F}: u^* \in \{u\}_q \rightarrow f^* \in \{f\}_q, u \in \{u\}_n \rightarrow f \in \{f\}_n.$$

По определению  $u^* \prec u$ , если  $f^* \prec f$ . Таким образом, на  $\mathcal{U}$  возникает отношение предшествования

$$u^* \prec u, \text{ где } u^* = u^*(y), Y < y < Y + h^*; u = u(y), Y < y < Y + h. \quad (1.10)$$

Согласно [1, 2] у него следующий геофизический смысл: *пусть скоростная функция  $u(y)$ ,  $y \geq 0$ , с волноводом  $(Y, Y + h)$  имеет годограф  $\Gamma$ , тогда любую функцию  $u^*(y)$ , удовлетворяющую условию (1.10), можно однозначно продолжить до скоростной функции на всей полуоси  $y \geq 0$  с тем же самым годографом  $\Gamma$  (нужно взять  $u^*(y)$  равной  $u(y)$  при  $y < Y$  и доопределить ее при  $y > Y + h^*$  по формуле Гервера–Маркушевича).*

Подчеркнем: если условие (1.10) не выполнено, то  $u^*(Y)$ , вообще говоря, *нельзя доопределить* с интервала  $(Y, Y + h^*)$  на всю полуось до скоростной функции, имеющей тот же годограф  $\Gamma$ , что и  $u(y)$ .

Если  $u(y)$  кусочно-постоянна не только в волноводе, но и при  $y > Y + h$ , то (1.10) является *необходимым и достаточным* условием продолжимости  $u^*(y)$  на всю полуось  $y \geq 0$  до скоростной функции с годографом  $\Gamma$ .

Схематически изобразим плоское множество  $\mathcal{G}$ , образуемое графиками всех скоростных функций, которые имеют такой же годограф  $\Gamma$ , как и функция  $u(y)$ . На рис. 1 границы  $\mathcal{G}$  изображены пунктиром, а график  $u(y)$  – сплошной линией.

Левая граница устойчиво определяется известными методами. Интерес представляет определение правой границы, в частности, – числа  $H$  – максимального расстояния между границами вдоль прямых  $u = \text{const}$ .

В общем случае задача отыскания верхней грани (1.8) есть задача оценки  $H$  снизу; если  $u(y)$  кусочно-потоянна при  $y > Y$ , верхняя грань (1.8) в точности равна  $H$ .

О других приложениях будет рассказано в [4] – после того, как новые теоремы о  $\sup h(f^*)$ ,  $f^* \in \Pi(f)$  будут сформулированы, доказаны и обобщены.

Перейдем к этим теоремам.

## 2. ТЕОРЕМА О ЧИСЛЕ СТУПЕНЕК

Положим

$$T_q(f) = \Pi(f) \cap \{f\}_q = \{f^* \in \{f\}_q \mid f^* \prec f\},$$

$$\Pi_n(f) = T_1(f) \cup T_2(f) \cup \dots \cup T_n(f), \quad (2.1)$$

так что (2.1) – подмножество (1.6), состоящее из функций  $f^* \prec f$ , имеющих не более  $n$  ступенек.

В [2] доказана

**Т е о р е м а 1.** Для любой функции  $f \in \{f\}_n$  существует такая функция  $f^0 \in \Pi_n(f)$ , что  $h(f^0) \geq h(f^*)$  для всех  $f^* \in \Pi_n(f)$ , т.е.

$$h^0 = h(f^0) = \max h(f^*), \quad f^* \in \Pi_n(f). \quad (2.2)$$

В этой статье и в [4] теорема 1 будет уточнена и обобщена в нескольких направлениях. Одно из таких обобщений – следующая теорема о числе ступенек.

**Т е о р е м а 2.** Для  $f^0$  в (2.2) неравенство  $h^0 \geq h(h^*)$  выполняется не только для  $f^* \in \Pi_n(f)$ , но и для всех  $f^* \in \Pi(f)$ , т.е. верхняя грань (1.8) достигается для любой  $f \in \mathcal{F}$ ; при  $f \in \{f\}_n$  она равна максимуму (2.2):

$$h^0 = h(f^0) = \sup h(f^*), \quad f^* \in \Pi(f). \quad (2.3)$$

Более того, если  $f \in \{f\}_n$  и  $f^* \in T_q(f)$ , где  $q > n$ , то выполняется строгое неравенство

$$h^0 > h(f^*). \quad (2.4)$$

Другими словами, для любой  $f \in \{f\}_n$  функция  $f^0$ , на которой верхняя грань (2.3) достигается, имеет не более  $n$  ступенек <sup>(1)</sup>.

**С л е д с т в и е.** Задачу отыскания верхней грани (1.8) для  $f \in \{f\}_n$  можно ставить как задачу поиска максимума (2.2):  $f^0$  следует искать не по всему  $\Pi(f)$ , а только среди функций  $f^* \in \Pi_n(f)$ .

## 3. ТЕОРЕМЫ СУЩЕСТВОВАНИЯ И ЕДИНСТВЕННОСТИ

При  $n = 1$  задача поиска  $f^0$  тривиальна:

$$\text{если } f \in \{f\}_1, \text{ то } f^0 = f^{(2)}. \quad (3.1)$$

При  $n = 2$  задача относительно проста и полностью решена в [2]: доказано, что для любой  $f \in \{f\}_2$  функция  $f^0$  определяется по  $f$  однозначно, и указан быстрый алгоритм ее построения. В частности, доказано, что  $f^0$  обязательно имеет две ступеньки:  $f^0 \in \{f\}_2$ .

При  $n > 2$  ситуация сложнее – для части  $f \in \{f\}_n$  функция  $f^0$  имеет  $n$  ступенек:

$$f^0 \in T_n(f) \subset \{f\}_n, \quad (3.2)$$

для части  $f \in \{f\}_n$  она имеет менее  $n$  ступенек:

$$f^0 \in T_m(f) \subset \{f\}_m, \quad m < n \quad (3)$$
 (3.3)

В обоих случаях верна, однако,

**Теорема единственности.** *Функция  $f^0$  определяется по  $f$  однозначно.*

Объединяя ее с теоремой 2, приходим к одному из главных результатов статьи:

**Теорема 3.** *Для любой  $f \in \mathcal{F}$  существует и единственна функция  $f^0$ , на которой достигается верхняя грань (2.3) функционала  $h(f^*)$ ,  $f^* \in \Pi(f)$ ; при этом  $f^0$  имеет не больше ступенек, чем  $f$ .*

В разд. 4 анализируются некоторые следствия теоремы единственности и приводится план ее доказательства.

#### 4. МНОЖЕСТВО МАКСИМУМОВ. ЗОНЫ ВЛИЯНИЯ. ПЛАН ДОКАЗАТЕЛЬСТВА ТЕОРЕМЫ ЕДИНСТВЕННОСТИ

Если теорема единственности верна, в  $\mathcal{F}$  можно выделить множество максимумов  $\mathcal{F}^0$  и рассмотреть отображение

$$W: \mathcal{F} \rightarrow \mathcal{F}^0, \quad (4.1)$$

сопоставляющее каждой функции  $f \in \mathcal{F}$  функцию  $f^0 \in \mathcal{F}^0$ , на которой достигается максимум функционала  $h(f^*)$ ,  $f^* \in \Pi(f)$ .

В соответствии с (4.1) для каждой функции  $f^0 \in \mathcal{F}^0$  можно определить ее зону влияния – множество

$$I(f^0) = \{f \in \mathcal{F} \mid W(f) = f^0\}. \quad (4.2)$$

Вследствие теоремы единственности множества (4.2) попарно не пересекаются:

$$I(f_1^0) \cap I(f_2^0) = \emptyset \quad \text{для } f_1^0, f_2^0 \in \mathcal{F}^0, \text{ если } f_1^0 \neq f_2^0. \quad (4.3)$$

В разд. 5 будет дано не опирающееся на (4.1), (4.2) конструктивное описание множеств  $\mathcal{F}^0$  и  $I(f^0)$ , обладающих свойством (4.3) и удовлетворяющих следующей теореме о строгом максимуме.

**Теорема 4.** *Если  $f \in I(f^0)$ , то*

$$h^0 = h(f^0) > h(f^*) \quad \text{для любой функции } f^* \in \Pi(f), \quad f^* \neq f^0. \quad (4.4)$$

После этого для доказательства теоремы единственности останется проверить, что каждая функция  $f \in \mathcal{F}$  входит в зону влияния хоть одной (и значит, вследствие (4.3), ровно одной) функции  $f^0 \in \mathcal{F}^0$ :

$$f \in I(f^0). \quad (4.5)$$

#### 5. ЭКСТРЕМАЛЬНОЕ СВОЙСТВО 1-АППРОКСИМАЦИЙ. КОНСТРУКТИВНОЕ ОПРЕДЕЛЕНИЕ ЗОН ВЛИЯНИЯ. ТЕОРЕМА О СТРОГОМ МАКСИМУМЕ

Доказательство (4.4) основано на следующем экстремальном свойстве рациональных 1-аппроксимаций  $r(s)$  функции  $1/\sqrt{s}$ . Согласно [3] по каждому множеству  $\{s_1, \dots, s_m\}$ ,  $0 < s_1 < \dots < s_m$  (а следовательно, по каждому набору  $(a, s) = \{a_1, \dots, a_m, s_1, \dots, s_m\} \in \mathfrak{N}_m$  и, тем самым, по каждой функции  $f \in \{f\}_m$ ) однозначно

определяются  $2m$  положительных чисел  $d_0, d_1, d_2, \dots, d_m, w_2, \dots, w_m$ ,  
 $0 = w_1 < w_2 < \dots < w_m$ ,

$$(5.1)$$

для которых функция

$$r(s) = d_0 + d_1 / s + \sum_{k=2}^m d_k / (s + w_k) \quad (5.2)$$

совпадает с  $1/\sqrt{s}$  при  $s = s_1, \dots, s_m$  и строго больше  $1/\sqrt{s}$  при любом  $s > 0$ ,  $s \neq s_1, \dots, s_m$  (4).

Введем отображение  $\chi$ , сопоставляющее функции  $f \in \{f\}_m$  множество (5.1),  $m \geq 1$  произвольно. Таким образом, условие  $w_k \in \chi(f)$  означает, что  $-w_k$  является полюсом соответствующей  $f$  функции  $r(s)$ .

**О п р е д е л е н и е 1.** Отнесем функцию  $f^0 \in \mathcal{F}$  к множеству  $\mathcal{F}^0$ , если  $\chi(f^0) \subset [0, 1]$  в частности,  $f^0 \in \mathcal{F}_m^0 = \mathcal{F}^0 \cap \{f\}_m$ , если

$$\chi(f^0) = \{w_1^0, w_2^0, \dots, w_m^0\}, \quad 0 = w_1^0 < w_2^0 < \dots < w_m^0 \leq 1 \quad (5).$$

**О п р е д е л е н и е 2.** Для  $f^0 \in \mathcal{F}^0$  определим на  $\mathcal{F}$  наряду с отношением предшествования  $f^* \prec f$  (см. (1.6)) еще одно отношение частичной упорядоченности  $f^0 \prec\prec f$ . Пусть  $f^0 \in \mathcal{F}^0, f \in \mathcal{F}; f^0 \Leftrightarrow g^0(z), f \Leftrightarrow g(z)$  (см. (1.5), (1.4)). Тогда  $f^0 \prec\prec f$ , если

$$\begin{aligned} 1) & f^0 \prec\prec f \Leftrightarrow g^0(z) \leq g(z), \quad z \in [0, 1], \\ 2) & g^0(w_k^0) = g(w_k^0) \quad \text{при любом } w_k^0 \in \chi(f^0). \end{aligned} \quad (5.3)$$

**О п р е д е л е н и е 3.** Зону влияния функции  $f^0 \in \mathcal{F}^0$  определим (не опираясь на (4.1), (4.2)) как множество всех  $f \in \mathcal{F}$ , для которых  $f^0 \prec\prec f$ :

$$I(f^0) = \{f \in \mathcal{F} \mid f^0 \prec\prec f\}. \quad (5.4)$$

Докажем, что определения 1–3 приводят к (4.4) и (4.3).

«Пусть  $f^0 \in \mathcal{F}_m^0 = \mathcal{F}^0 \cap \{f\}_m, f \in I_n(f^0) = I(f^0) \cap \{f\}_n, f^* \in T_q(f) \subset \Pi(f)$ . Рассмотрим наборы  $(a^0, s^0) \in \mathfrak{M}_m, (a, s) \in \mathfrak{M}_n$  и  $(a^*, s^*) \in \mathfrak{M}_q$ , соответствующие  $f^0, f$  и  $f^*$ , и положим (см. (1.4), (1.5))  $g^0(z) = g(z, a^0, s^0), g(z) = g(z, a, s), g^*(z) = g(z, a^*, s^*)$ ; функцию вида (5.2), соответствующую  $f^0$ , обозначим  $r^0(s)$ :

$$\begin{aligned} r^0(s) &= d_0^0 + \sum_{k=1}^m d_k^0 / (s + w_k^0) = 1/\sqrt{s} \quad \text{при } s = s_1^0, \dots, s_m^0, \\ r^0(s) &> 1/\sqrt{s} \quad \text{при } s > 0, \quad s \neq s_1^0, \dots, s_m^0. \end{aligned} \quad (5.5)$$

Тогда в соответствии с (1.7)

$$h^0 = \sum_{j=1}^m a_j^0 / \sqrt{s_j^0} = \sum_{i=1}^m a_j^0 r^0(s_j^0) = \sum_{i=1}^m a_j^0 \left( d_0^0 + \sum_{k=1}^m d_k^0 / (s_j^0 + w_k^0) \right).$$

Меняя порядок суммирования и учитывая, что ввиду (1.2), (1.5) и (5.3)

$$\sum_{j=1}^m a_j^0 = 1, \quad \sum_{i=1}^m a_j^0 / (s_j^0 + w_k^0) = g^0(w_k^0) = g(w_k^0), \quad 1 \leq k \leq m,$$

получаем

$$h^0 = d_0^0 + \sum_{j=1}^m d_k^0 \left( \sum_{j=1}^m a_j^0 / (s_j^0 + w_k^0) \right) = d_0^0 + \sum_{k=1}^m d_k^0 g^0(w_k^0) = d_0^0 + \sum_{k=1}^m d_k^0 g(w_k^0). \quad (5.6)$$

Для  $h^* = h(f^*)$ , учитывая (5.5) и (1.6), имеем

$$\begin{aligned} h^* &= \sum_{j=1}^q a_j^* / \sqrt{s_j^*} \leq \sum_{j=1}^q a_j^* r^0(s_j^*) = \sum_{j=1}^q a_j^* \left( d_0^0 + \sum_{k=1}^m d_k^0 / (s_j^* + w_k^0) \right) = \\ &= d_0^0 + \sum_{k=1}^m d_k^0 \left( \sum_{j=1}^q a_j^* / (s_j^* + w_k^0) \right) = d_0^0 + \sum_{k=1}^m d_k^0 g^*(w_k^0) \leq d_0^0 + \sum_{k=1}^m d_k^0 g(w_k^0), \end{aligned}$$

так что согласно (5.6)  $h^* \leq h^0$ . Докажем, что для  $f^* \neq f^0$  неравенство – строгое:

$$h^* < h^0. \quad (5.7)$$

Это могло бы быть не так в единственном случае: если

$$\sum_{j=1}^q a_j^* / \sqrt{s_j^*} = \sum_{j=1}^q a_j^* r^0(s_j^*) \text{ и } \sum_{k=1}^m d_k^0 g^*(w_k^0) = \sum_{k=1}^m d_k^0 g(w_k^0),$$

т.е., ввиду (5.5), (1.6) и (5.3), если

$$\{s_1^*, \dots, s_q^*\} \subseteq \{s_1^0, \dots, s_m^0\} \quad (5.8)$$

и

$$g^*(w_k^0) = g^0(w_k^0) \text{ при всех } k = 1, \dots, m. \quad (5.9)$$

Положив

$$c^*(z) = \prod_{j=1}^q (z + s_j^*), \quad c^0(z) = \prod_{j=1}^m (z + s_j^0),$$

запишем функции  $g^*(z)$  и  $g^0(z)$  в виде отношений полиномов:

$$\begin{aligned} g^*(z) &= \sum_{j=1}^q a_j^* / (z + s_j^*) = b^*(z) / c^*(z), \\ g^0(z) &= \sum_{j=1}^m a_j^0 / (z + s_j^0) = b^0(z) / c^0(z), \end{aligned} \quad (5.10)$$

степени  $b^*(z)$  и  $b^0(z)$  равны  $q - 1$  и  $m - 1$  соответственно.

Вследствие (5.8)  $q \leq m$  и  $c^0(z)/c^*(z) = a(z)$  – полином степени  $m - q$  (в частности,  $a(z) \equiv 1$  при  $m = q$ ). Ввиду (5.9) и (5.10), уравнению

$$b^0(z) - a(z)b^*(z) = 0 \quad (5.11)$$

удовлетворяют  $m$  корней  $w_k^0$ ,  $1 \leq k \leq m$ , т.е. (5.11) – тождество (поскольку степень полинома в левой части не превосходит  $m - 1$ ). Отсюда  $g^*(z) \equiv g^0(z)$ , т.е.  $q = m$  и

$$a_j^* = a_j^0, \quad s_j^* = s_j^0 \text{ при всех } j = 1, \dots, m. \quad (5.12)$$

Равенства (5.12) означают, что (вопреки предположению)  $f^* = f^0$ . Неравенство (5.7) доказано.»

Вместе с (5.7), очевидно, доказана и теорема 4 о строгом максимуме, а значит, установлено и свойство (4.3). «Предположив, что оно не выполняется и существует функция  $f$ , для которой  $f_1^0 \ll f$ ,  $f_2^0 \ll f$ , приходим к противоречащим друг другу строгим неравенствам:  $h(f_1^0) > h(f_2^0)$ ,  $h(f_2^0) > h(f_1^0)$ .»

## 6. ТЕОРЕМЫ О ЗОНАХ ВЛИЯНИЯ

Начнем изучение зон влияния (5.4) с важного замечания к определению 2: вследствие (5.3) не только сами функции  $g^0(z)$  и  $g(z)$  равны при  $z = w_k^0 \in \chi(f^0) \subset [0, 1]$ , но (поскольку  $g^0(z) \leq g(z)$  на  $[0, 1]$ ) и их первые производные по  $z$  совпадают в тех точках  $w_k^0 \in \chi(f^0)$ , которые лежат внутри  $(0, 1)$ . В частности, для  $f^0 \in \mathcal{F}_m^0 = \mathcal{F}^0 \cap \{f\}_m$

$$\begin{aligned} g^0(z) &= g(z) \text{ при } z = w_k^0 \in \chi(f^0), \quad 1 \leq k \leq m, \\ dg^0(z)/dz &= g'(z) \text{ при } z = w_k^0, \quad 1 < k < m; \end{aligned} \quad (6.1)$$

кроме того,

$$dg^0(w_m^0)/dz = g'(w_m^0), \text{ если } w_m^0 < 1. \quad (6.2)$$

Ввиду (6.1), (6.2) верны следующие теоремы о зонах влияния  $I(f^0)$ .

**Теорема 5.** Если  $f \in \{f\}_n$  входит в зону влияния  $I(f^0)$  функции  $f^0 \in \mathcal{F}_m^0 = \mathcal{F}^0 \cap \{f\}_m$ , то  $m \leq n$ .

«Положив (сравним с (5.10))

$$c^0(z) = \prod_{j=1}^m (z + s_j^0), \quad c(z) = \prod_{j=1}^n (z + s_j),$$

запишем  $g^0(z)$  и  $g(z)$  в виде отношений полиномов:

$$\begin{aligned} g^0(z) &= \sum_{j=1}^m a_j^0 / (z + s_j^0) = b^0(z) / c^0(z), \\ g(z) &= \sum_{j=1}^m a_j / (z + s_j) = b(z) / c(z), \end{aligned} \quad (6.3)$$

степени  $b^0(z)$  и  $b(z)$  равны  $m - 1$  и  $n - 1$  соответственно. Степень полинома

$$b(z)c^0(z) - b^0(z)c(z) \quad (6.4)$$

не выше  $m + n - 2$ , а сумма кратностей его корней (ввиду (6.1), (6.3)) не меньше, чем  $2m - 2$ . Отсюда  $n \geq m$ .

**Теорема 6.** Если  $f^0 \in \mathcal{F}_m^0 = \mathcal{F}^0 \cap \{f\}_m$  и  $\chi(f^0) \subset [0, 1]$ , т.е.  $w_m^0 < 1$ , то  $I_m(f^0) = I(f^0) \cap \{f\}_m$  не содержит ни одной функции, кроме  $f^0$ :

$$I_m(f^0) \ni f \Rightarrow f \equiv f^0. \quad (6.5)$$

«Рассуждая так же, как при доказательстве теоремы 5, приходим к выводу, что степень полинома (6.4) не выше  $2m - 2$ , а сумма кратностей его корней (ввиду (6.2), (6.3)) не меньше  $2m - 1$ , т.е. полином (6.4) тождественно равен нулю. Отсюда  $g(z) \equiv g^0(z)$ , что доказывает (6.5).»

Свойство (6.5) допускает обобщение: в условиях теоремы 6

$$I(f^0) \ni f \Rightarrow f = f^0. \quad (6.6)$$



С учетом теорем 5,6 для доказательства (6.6) достаточно проверить, что при  $f^0 \in \mathcal{F}_m^0$ ,  $w_m^0 < 1$  и  $n > m$  множество  $I_n(f^0) = I(f^0) \cap \{f\}_n$  пусто:

$$f^0 \in \mathcal{F}_m^0, w_m^0 < 1, n > m \Rightarrow I_n(f^0) = 0. \quad (6.7)$$

В разд. 9 будет доказано, что (ввиду непрерывности отображения  $\chi$ ) свойство (6.7) следует из (4.4). Тем самым, будет получена.

**Т е о р е м а 7.** Если  $\chi(f^0) \in [0, 1)$ , то зона влияния  $I(f^0)$  является одноточечной – не содержит ни одной функции, кроме  $f^0$ .

Остальные  $I(f^0)$  будем называть *основными* в соответствии со следующим определением, дополняющим определения 1–3 из разд. 5.

**О п р е д е л е н и е 4.** Разобьем  $\mathcal{F}_n^0 = \mathcal{F}^0 \cap \{f\}_n$  (при любом  $n \geq 1$ ) на два подмножества:

$$\mathcal{F}_n^0 = \mathcal{F}_n^1 \cup \mathcal{F}_n^2, \quad \mathcal{F}_n^1 \cap \mathcal{F}_n^2 = 0, \quad (6.8)$$

выберем их так, чтобы для самой правой точки  $w_n^0$  множества  $\chi(f^0)$ ,  $f^0 \in \mathcal{F}_n^0$  выполнялась альтернатива

$$w_n^0 < 1 \text{ при } f^0 \in \mathcal{F}_n^1; \quad w_n^0 = 1 \text{ при } f^0 \in \mathcal{F}_n^2; \quad (6.9)$$

Зона влияния  $I(f^0)$  называется *основной*, если  $f^0 \in \mathcal{F}_m^0$  (при каком-нибудь  $m \geq 1$ ).

Доказанную выше теорему 6 можно, используя (6.9), сформулировать следующим образом:

$$I_n(f^0) \ni f, \quad f^0 \in \mathcal{F}_n^1 \Rightarrow f \equiv f^0. \quad (6.10)$$

**О п р е д е л е н и е 5.** Объединение  $I_n(f^0) = I(f^0) \cap \{f\}_n$  по всем  $f^0 \in \mathcal{F}^0$  обозначим  $D_n$ . Положим

$$\mathcal{M}_n^k = \mathcal{F}_n^k \cup \dots \cup \mathcal{F}_n^k, \quad k = 0, 1, 2. \quad (6.11)$$

По теореме 5

$$D_n = \bigcup I_n(f^0), \quad f^0 \in \mathcal{M}_n^0 = \mathcal{M}_n^1 \cup \mathcal{M}_n^2. \quad (6.12)$$

Ввиду теоремы 7 можно было бы дать равносильное (6.12) определение  $D_n$ , не симметричное по отношению к  $\mathcal{M}_n^1$  и  $\mathcal{M}_n^2$ :

$$D_n = \bigcup I_n(f^0), \quad f^0 \in \mathcal{F}_n^1 \cup \mathcal{M}_n^2. \quad (6.13)$$

Согласно (6.10) объединение  $I_n(f^0)$  по всем  $f^0 \in \mathcal{F}_n^1$  совпадает с  $\mathcal{F}_n^1$ . Разности  $D_n \setminus \mathcal{F}_n^0$ ,  $\{f\}_n \setminus \mathcal{F}_n^0$  обозначим (соответственно)  $B_n$  и  $G_n$ :

$$B_n = D_n \setminus \mathcal{F}_n^0, \quad G_n = \{f\}_n \setminus \mathcal{F}_n^0; \quad (6.14)$$

эквивалентные определения:  $B_n$  – объединение  $I_n(f^0) \setminus f^0$  по всем  $f^0 \in \mathcal{M}_n^0$  (с учетом (6.13) в  $B_n$  входят функции только из *основных* зон влияния:  $f^0 \in \mathcal{M}_n^2$ );  $f \in G_n$ , если самая правая точка  $w_n = w_n(f)$  множества  $\chi(f)$  больше 1, т.е.

$$G_n = \{f \in \{f\}_n \mid w_n(f) > 1\}.$$

В разд. 9 будет доказана

Теорема о совпадении. При любом  $n \geq 1$

$$D_n \equiv \{f\}_n, B_n \equiv G_n. \quad (6.15)$$

Тождества (6.15) эквивалентны между собой ввиду (6.14).

Сформулированная в разд. 3 теорема 3 является следствием (6.15). «С учетом определений 4,5 совпадение  $D_n$  и  $\{f\}_n$  означает (сравним с теоремой 5), что любая функция  $f \in \{f\}_n$  входит в зону влияния одной из функций  $f^0 \in \mathcal{M}_n^0$ . Поэтому (ввиду (4.5) и теоремы 4) тождество (6.15) влечет за собой и теорему единственности, и теорему 2 о числе ступенек, а значит, и теорему 3.»

Чтобы доказать все анонсированные теоремы, перейдем к новым координатам, в которых рассматриваемые вопросы допускают простое геометрическое истолкование. План действий:

в разд. 7, следуя [1], опишем биективное соответствие  $\{f\}_n \Leftrightarrow \Omega_n$  между  $\{f\}_n$  и областью  $\Omega_n \subset \mathbf{R}^{2n-1}$ ;

В разд. 8, следуя [1, 2], напомним геометрический смысл отношения предшествования  $f^* < f$ , а потом, следуя [2, 3], уточним теорему 1.

Это позволит, трактуя  $B_n$  и  $G_n$  как подмножества  $\Omega_n$ , доказать в разд. 9 тождество (6.15) и теорему 7. Затем в разд. 10 будет рассказано о строении и расположении зон влияния. Наконец, в разд. 11 будет сформулирована и доказана описанная во введении теорема о расслоении.

Переходя к выполнению намеченного плана, прежде всего напомним, как в [1] устанавливается биективное соответствие между ступенчатыми функциями и устойчивыми многочленами и каким образом, вследствие этого, множество  $\{f\}_n$  вкладывается в  $\mathbf{R}^{2n-1}$ .

## 7. СТУПЕНЧАТЫЕ ФУНКЦИИ И УСТОЙЧИВЫЕ МНОГОЧЛЕНЫ

При любом  $n$  сопоставим каждой точке

$$X = (x_0, x_1, \dots, x_{2n-2}) \in \mathbf{R}^{2n-1} \quad (7.1)$$

многочлен

$$\mathcal{P}(r) = \mathcal{P}(X, r) = r^{2n} + r^{2n-1} + x_0 r^{2n-2} + x_1 r^{2n-3} + \dots + x_{2n-2} \quad (7.2)$$

и рациональную функцию

$$g(z) = g(X, z) = b(z)/c(z), \quad (7.3)$$

где

$$\begin{aligned} b(z) &= b(X, z) = z^{n-1} + x_1 z^{n-2} + x_3 z^{n-3} + \dots + x_{2n-3}, \\ c(z) &= c(X, z) = z^n + x_0 z^{n-1} + x_2 z^{n-2} + \dots + x_{2n-2}. \end{aligned} \quad (7.4)$$

По определению  $X \in \Omega_n$ , если многочлен (7.2) устойчив (т.е. все корни  $\mathcal{P}(X, r)$  лежат в полуплоскости  $\operatorname{Re} r < 0$ );  $(2n-1)$ -мерная область  $\Omega_n$  называется областью устойчивости.

По теореме Эрмита–Билера об устойчивых многочленах  $X \in \Omega_n$  тогда и только тогда, когда нули  $(-z_1, \dots, -z_{n-1})$  и полюса  $(-s_1, \dots, -s_n)$  функции  $g(X, z)$  отрицательны и чередуются:

$$0 < s_1 < z_1 < \dots < s_{n-1} < z_{n-1} < s_n. \quad (7.5)$$

Легко проверить (см. [1. С. 185]), что нули и полюса функции  $g(z) = g(z, a, s)$  из (1.4) обладают этим свойством: условия (7.5) и (1.2) эквивалентны. Это позволяет, следуя [1], установить биективное соответствие

$$f \in \{f\}_n \Leftrightarrow (a, s) \in \mathfrak{N}_n \Leftrightarrow X \in \Omega_n, \quad (7.6)$$

в котором функции  $f$  (набору  $(a, s)$ ) отвечает такая точка  $X$ , что функции  $g(z)$  в (1.4) и (7.3) совпадают:

$$g(z, a, s) = g(X, z). \quad (7.7)$$

**З а м е ч а н и е .** Согласно (7.6), (7.7) формулу (6.3) в доказательстве теоремы 5 можно трактовать как отображение

$$\{f\}_m \in f^0 \rightarrow X^0 \in \Omega_m \subset \mathbb{R}^{2m-1}, \{f\}_n \in f \rightarrow X \in \Omega_n \subset \mathbb{R}^{2n-1}. \quad (7.8)$$

Ввиду (7.8) множества  $\{f\}_m$  и  $\{f\}_n$  оказываются вложенными в  $\mathbb{R}^{2m-1}$  и  $\mathbb{R}^{2n-1}$ ; трактуя  $\mathbb{R}^{2m-1}$  при  $m < n$  как подпространство  $\mathbb{R}^{2n-1}$  получаем, что все  $\{f\}_m, m \leq n$ , вложены в  $\mathbb{R}^{2n-1}$ .

Область  $\Omega_n$  (биективный образ  $\{f\}_n$  при отображении (7.8)) располагается в первом октанте (все  $x_j > 0, 0 \leq j \leq 2n-2$ ) и описывается полиномиальными неравенствами

$$H_j(X) > 0, \quad 2 \leq j \leq 2n, \quad (7.9)$$

где  $H_j = H_j(X)$  – главные миноры матрицы Гурвица  $\mathcal{H}_n = \mathcal{H}_n(X)$ . Напомним, что  $\mathcal{H}_n$  – квадратная матрица порядка  $2n$ , столбцы которой составлены из коэффициентов (7.4) и из нулей, как в следующих примерах:

$$\mathcal{H}_2 = \begin{vmatrix} 1 & 1 & 0 & 0 \\ x_1 & x_0 & 1 & 1 \\ 0 & x_2 & x_1 & x_0 \\ 0 & 0 & 0 & x_2 \end{vmatrix}, \quad \mathcal{H}_3 = \begin{vmatrix} 1 & 1 & 0 & 0 & 0 & 0 \\ x_1 & x_0 & 1 & 1 & 0 & 0 \\ x_3 & x_2 & x_1 & x_0 & 1 & 1 \\ 0 & x_4 & x_3 & x_2 & x_1 & x_0 \\ 0 & 0 & 0 & x_4 & x_3 & x_2 \\ 0 & 0 & 0 & 0 & 0 & x_4 \end{vmatrix};$$

миноры  $H_j(X)$  называются *определителями Гурвица* многочлена (7.2),  $1 \leq j \leq 2n$ ; по критерию Рауса–Гурвица их положительность необходима и достаточна для того, чтобы  $X \in \Omega_n$ ; это дает описание  $\Omega_n$  неравенствами (7.9).

**П р и м е р .** При  $n = 2$  область  $\Omega_2$  (биективный образ  $\{f\}_2$ ) лежит в первом октанте  $\mathbb{R}^3$  и описывается неравенствами

$$x_0 - x_1 > 0, \quad (x_0 - x_1)x_1 > x_2 > 0;$$

область  $\Omega_1$  (биективный образ  $\{f\}_1$ ) – полуось  $x_0 > 0$ .

Условия (7.5) и (7.9) позволяют понять, как устроена граница  $\partial\Omega_n$  области устойчивости  $\Omega_n$ . При выходе точки  $X \in \Omega_n$  на границу  $\partial\Omega_n$  в (7.5) либо  $s_1$  обращается в 0 (при этом и  $x_{2n-2} = s_1 \dots s_n$  обращается в 0), либо соседние нуль и полюс  $g(X, z)$  сливаются. Поэтому граница  $\partial\Omega_n$  естественно разбивается на две части:

1) кусок гиперплоскости  $x_{2n-2} = 0$ ,

2) гиперповерхность  $\Gamma_n$  – границу  $\Omega_n$  в полупространстве  $x_{2n-2} > 0$ , на которой равен нулю результат полиномов (7.4) (совпадающий по абсолютной величине с определителем Гурвица  $H_{2n-1}$ ).

Так как  $H_{2n}(x) = x_{2n-2}H_{2n-1}(X)$ , то  $H_{2n} = 0$  на всей границе  $\partial\Omega_n$ .

Обозначим  $F_k$  замыкание  $\Omega_k$  в полупространстве  $x_{2k-2} > 0$ :

$$F_k = \Omega_k \cup \Gamma_k \subset \mathbb{R}^{2k-1}, \quad k \geq 1.$$

Следуя [1], рассмотрим (при каждом  $k \geq 1$ ) отображение  $\Gamma_{k+1}$  на  $F_k$ :

$$\Gamma_{k+1} \rightarrow F_k, \quad (7.10)$$

в (7.10) прообразом точки  $Y = (y_0, \dots, y_{2k-2}) \in F_k$  является принадлежащая  $\Gamma_{k+1}$  полупрямая  $\bar{Y} = \bar{Y}(t)$ ,  $t > 0$ , уравнение которой строится в соответствии с равенством дробей

$$\frac{z^k + \bar{y}_1 z^{k-1} + \dots + \bar{y}_{2k-1}}{z^{k+1} + \bar{y}_0 z^k + \dots + \bar{y}_{2k-2} z + \bar{y}_{2k}} = \frac{z^{k-1} + y_1 z^{k-2} + \dots + y_{2k-3}}{z^k + y_0 z^{k-1} + \dots + y_{2k-2}} \frac{z+t}{z+t}, \quad (7.11)$$

так что

$$\begin{aligned} \bar{Y} = \bar{Y}(t) &= (\bar{y}_0(t), \dots, \bar{y}_{2k-2}(t), \bar{y}_{2k-1}(t), \bar{y}_{2k}(t)) = \\ &= (y_0, \dots, y_{2k-2}, 0, 0) + t(1, 1, y_0, \dots, y_{2k-2}). \end{aligned} \quad (7.12)$$

Множество точек  $\bar{Y}(t)$  в (7.12) при  $t = 0$  ("стык"  $\Gamma_{k+1}$  и гиперплоскости  $x_{2k} = 0$ ) естественно отождествить с  $F_k$ : вершине луча (7.12)  $(y_0, \dots, y_{2k-2}, 0, 0)$  соответствует точка

$$(y_0, \dots, y_{2k-2}) \in F_k. \quad (7.13)$$

**С о г л а ш е н и е .** Ввиду (7.7) и (7.11) условимся говорить, что *вся полупрямая (7.12) изображает одну ступенчатую функцию  $f \in \{f\}_1 \cup \dots \cup \{f\}_k$  – ту же, что изображается точкой (7.13).*

**П р и м е р .** При  $n = 2$  граница  $\Gamma_2$  – часть гиперболического параболоида  $x_2 = (x_0 - x_1)x_1$  – линейчатая поверхность, составленная из лучей

$$(y_0, 0, 0) + t(1, 1, y_0), \quad t > 0; \quad (7.14)$$

весь луч (7.14) изображает ту же ступенчатую функцию  $f \in \{f\}_1$ , что и его вершина  $(y_0, 0, 0)$ , отождествленная с  $y_0 \in \Omega_1 = F_1$ .

Принятое соглашение дает (по индукции) *стратификацию  $\Gamma_n$* :

$$\Gamma_n = \bigcup_{1 \leq m < n} \Gamma_{nm}, \quad (7.15)$$

точки страта  $\Gamma_{nm}$  в (7.15) изображают ступенчатые функции  $f \in \{f\}_m$ , так что возникает отображение

$$\Gamma_{nm} \rightarrow \{f\}_m. \quad (7.16)$$

**П о я с н е н и е .** Как правило, при подходе точки  $X \in \Omega_n$  к границе  $\Gamma_n$  в (7.5) сливаются *один нуль и один полюс*  $g(X, z)$ ; этот (*общий*) случай соответствует подходу  $X$  к страту  $\Gamma_{n, n-1}$ . Иногда, однако, происходит одновременное слияние  $p$  пар нулей и полюсов  $g(X, z)$ ; этот (*особый*) случай соответствует подходу  $X$  к страту  $\Gamma_{n, n-p}$ ,  $1 < p < n$ .

По индукции легко проверяются следующие утверждения: 1) размерность  $\dim \Gamma_{nm}$  страта  $\Gamma_{nm}$  равна  $n + m - 1$ ; 2) при отображении (7.16) каждая функция  $f_0 \in \{f\}_m$  имеет прообраз размерности  $n-m$ ; в каждой точке  $Y$  этого прообраза вследствие (7.11)

выполняется тождество

$$g(Y, z) = g(Y_0, z), \text{ где } Y_0 \in \Omega_m, Y_0 \Leftrightarrow f_0 \in \{f\}_m. \quad (7.17)$$

**П р и м е р .** Граница  $\Gamma_4$  включает шестимерный страт  $\Gamma_{43}$ , составленный из прямых – одномерных прообразов  $f \in \{f\}_3$ , пятимерный страт  $\Gamma_{42}$ , составленный из двумерных прообразов  $f \in \{f\}_2$ , и четырехмерный страт  $\Gamma_{41}$ , составленный из трехмерных прообразов  $f \in \{f\}_1$ .

## 8. ГЕОМЕТРИЯ ОТНОШЕНИЯ ПРЕДШЕСТВОВАНИЯ

**Матрица  $M_n(X)$  и многочлен  $P(X, X^*, z)$ .** Так же, как в [1, 2], сопоставим каждой точке  $X \in \mathbf{R}^{2n-1}$  матрицу  $M_n = M_n(X)$  – квадратную матрицу порядка  $2n-1$ , которая получается из матрицы Гурвица  $\mathcal{H}_n(X)$  отбрасыванием последней строки и последнего столбца и умножением столбцов с четными номерами на  $-1$ ; каждой паре точек  $X, X^* \in \mathbf{R}^{2n-1}$  сопоставим многочлен

$$P(X, X^*, z) = b(X, z)c(X^*, z) - b(X^*, z)c(X, z), \quad (8.1)$$

так что, учитывая (7.3), (7.4),

$$g(X, z) - g(X^*, z) = P(X, X^*, z) / [c(X, z)c(X^*, z)], \quad (8.2)$$

Так как старшие коэффициенты в (7.4) равны 1, то степень  $P(X, X^*, z)$  не выше  $2n-2$ :

$$P(X, X^*, z) = P_0 z^{2n-2} + \dots + P_{2n-3} z + P_{2n-2}. \quad (8.3)$$

В [1] показано, что вектор  $P = (P_0, \dots, P_{2n-2})$ , составленный из коэффициентов (8.3), получается применением  $M_n(X)$  к вектору  $X^* - X$ :

$$P = M_n(X^* - X). \quad (8.4)$$

Например, при  $n = 2$

$$\begin{pmatrix} P_0 \\ P_1 \\ P_2 \end{pmatrix} = \begin{pmatrix} 1 & -1 & 0 \\ x_1 & -x_0 & 1 \\ 0 & -x_2 & x_1 \end{pmatrix} \begin{pmatrix} x_0^* - x_0 \\ x_1^* - x_1 \\ x_2^* - x_2 \end{pmatrix}.$$

**Отношение  $X^* \prec X$  и конусы  $K(X)$ .** Используя (8.1), определим отношение предшествования  $X^* \prec X$  в  $\mathbf{R}^{2n-1}$ :

$$X^* \prec X \Leftrightarrow P(X, X^*, z) \geq 0 \text{ при } z \in [0, 1]. \quad (8.5)$$

Положим  $\tilde{F}_n = \Omega_n \cup \bar{\Gamma}_n$  ( $\bar{\Gamma}_n$  – замыкание  $\Gamma_n$ ). Полиномы (7.4) положительны при  $z > 0$ , если  $X \in \tilde{F}_n$ . Поэтому (ввиду (8.2)) из (8.5) следует, что

$$X^* \prec X \text{ при } X^*, X \in \tilde{F}_n \Leftrightarrow g(X^*, z) \leq g(X, z) \text{ на } [0, 1]. \quad (8.6)$$

Таким образом, если  $X^* \Leftrightarrow f^*, X \Leftrightarrow f$ , то  $X^* \prec X \Leftrightarrow f^* \prec f$ . Вне первого ортанта определения (8.5), (8.6), разумеется, не совпадают.

Следуя [1], дадим геометрическую интерпретацию (8.5).

Рассмотрим пространство коэффициентов многочленов (8.3). Его точками являются векторы  $P \in \mathbf{R}^{2n-1}$  с координатами  $P_0, \dots, P_{2n-2}$ . Неотрицательным на  $[0, 1]$  многочленам соответствует *выпуклый конус  $K$*  в пространстве коэффициентов.

Пусть в точке  $X$  матрица  $M_n = M_n(X)$  невырождена:

$$|M_n(X)| \neq 0, \quad (8.7)$$

так что существует обратная матрица  $(M_n)^{-1}$ ; рассмотрим конус  $K(X)$  с вершиной  $X$  – аффинный образ конуса  $K$ , состоящий из точек

$$X^* = X + (M_n)^{-1}P, \quad P \in K. \quad (8.8)$$

Тогда, вследствие (8.4),

$$X^* \prec X \Leftrightarrow X^* \in K(X). \quad (8.9)$$

При  $X \in \Omega_n$  условие (8.7) заведомо выполняется, так как определитель  $M_n(X)$  равен по модулю определителю Гурвица  $H_{2n-1}(X)$ . Итак, выяснен геометрический смысл отношения предшествования  $f^* \prec f$ : ввиду (8.6), (8.9), для  $X^* \Leftrightarrow f^*$ ,  $X \Leftrightarrow f$  оно означает, что

$$X^* \in K(X) \cap \tilde{F}_n = \Pi_n(X). \quad (8.10)$$

Введенное в (8.10) обозначение  $\Pi_n(X)$  согласуется с (2.1): если  $X \Leftrightarrow f \in \{f\}_n$ ,  $X^* \Leftrightarrow f^* \in \Pi_n(f)$ , то  $X^* \in \Pi_n(X)$ . Ввиду (7.17)  $\Pi_n(X)$  содержит вместе с каждой точкой  $Y_0 \in \Omega_m$ ,  $Y_0 \Leftrightarrow f \in \{f\}_m$ , все точки  $Y \in \Gamma_{nm}$ , являющиеся прообразами  $f^0 \Leftrightarrow X^0$  при отображении (7.16).

**Строение и расположение конусов  $K(X)$ .** По теореме Карлина–Шепли (см. [6. С. 75] и [2. С. 107]) любой положительный на  $[0, 1]$  многочлен

$$P_0 z^{2k} + P_1 z^{2k-1} + \dots + P_{2k}, \quad (P_0, P_1, \dots, P_{2k}) \in \mathbb{R}^{2k+1}$$

однозначно представляется в виде суммы двух многочленов

$$\alpha(z - \zeta_1)^2 \dots (z - \zeta_k)^2 \quad (8.12)$$

и

$$\beta z(z - \eta_1)^2 \dots (z - \eta_{k-1})^2(1 - z) \quad (8.12)$$

с чередующимися нулями  $0 < \zeta_1 < \eta_1 < \dots < \eta_{k-1} < \zeta_k < 1$  и положительными коэффициентами  $\alpha, \beta$ . При  $k = n - 1$  многочлены вида (8.11), (8.12) образуют в пространстве коэффициентов  $P_0, \dots, P_{2n-2}$  конусы  $\gamma'$  и  $\gamma$  размерности  $n$  и  $n - 1$  соответственно; конус  $K$  является выпуклой оболочкой замыканий  $\gamma$  и  $\gamma'$ .

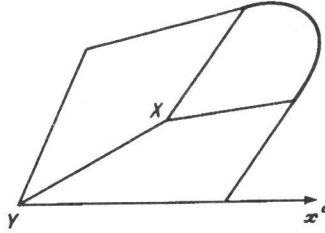
Так как при любом  $X \in \Omega_n$  конус  $K(X)$  получается из  $K$  линейным невырожденным преобразованием (8.8), то он является выпуклой оболочкой замыканий  $\gamma(X)$  и  $\gamma'(X)$  – образов  $\gamma$  и  $\gamma'$  при отображении (8.8).

В [2] доказаны следующие теоремы о расположении конусов  $\gamma(X)$  и  $\gamma'(X)$  относительно  $\Omega_n$ .

**Теорема о  $\gamma'(X)$ .** При любом  $n$  и любом  $X \in \Omega_n$  замыкание конуса  $\gamma'(X)$  не пересекается с границей  $\Omega_n$ . Иными словами, любой луч с вершиной  $X$ , принадлежащий замыканию  $\gamma'(X)$ , целиком располагается внутри области  $\Omega_n$ .

**Теорема о  $\gamma(X)$ .** При любом  $n > 1$  и любом  $X \in \Omega_n$  каждый луч с вершиной  $X$ , принадлежащий замыканию  $\gamma(X)$ , пересекается с замыканием  $\Omega_n$  по отрезку  $XU$ , конец  $U$  отрезка  $XU$  принадлежит подпространству  $x_{2n-3} = x_{2n-2} = 0$ , так что  $U = (y_0, \dots, y_{2n-4}, 0, 0)$ , при этом координата  $y_{2n-4}$  положительна:  $y_{2n-4} > 0$ .

**Пример.** При  $n = 2$  луч  $\gamma(X)$ , выходя из  $\Omega_2$ , пересекает в точке  $Y = Y(X)$  ось  $x_0 > 0$ ; полуоткрытый отрезок  $[XY)$  обозначим  $\gamma_1(X)$ . Граница  $K(X)$  при  $n = 2$  содержит наряду с  $X$ ,  $\gamma(X)$  и  $\gamma'(X)$  две плоских грани, которые касаются  $\gamma'(X)$ , а к  $\gamma(X)$  примыкают как к ребру двугранного угла (рис.2). Одна из граней (содержащая ось  $x_0$ ) состоит из таких точек  $X^*$ , что  $P(X, X^*, 0) = 0$ , на другой (содержащей луч (7.14))  $P(X, X^*, 1) = 0$ .



Р и с. 2

На частях граней, расположенных в области  $\Omega_2$  и примыкающих к отрезку  $\gamma_1(X)$ , ввиду (8.2),  $g(X^*, 0) = g(X, 0)$  и, соответственно,  $g(X^*, 1) = g(X, 1)$ . Поэтому в каждой точке  $X^* \in \gamma_1(X)$  градиенты  $\nabla_0 = \nabla g(X^*, 0)$  и  $\nabla_1 = \nabla g(X^*, 1)$  ортогональны  $\gamma_1(X)$ .

**Гипотеза о max h.** Для  $X \leftrightarrow f \in \{f\}_n$  функционал  $h(f)$  в (1.7) превращается в функцию  $h(X)$ ,  $X \in \Omega_n$ ; по непрерывности она продолжается на  $\tilde{F}_n = \Omega_n \cup \bar{\Gamma}_n$ . Ввиду (8.10), максимум (2.2) равен

$$h(X^0) = \max h(X^*), \quad X^* \in \Pi_n(X). \quad (8.13)$$

Согласно [2] он достигается на границе  $\partial \Pi_n(X)$ :

$$X^0 \in \partial \Pi_n(X) = \partial_n^1 \cup \partial_n^2, \quad \partial_n^1 = \bar{\Gamma}_n \cap K(X), \quad \partial_n^2 = \partial K(X) \cap \Omega_n,$$

причем для  $n \leq 2$  точка максимума  $X^0$  обязательно принадлежит  $\partial_n^2$ , а для  $n > 2$  – в согласии с (3.1), (3.2) – возможны оба случая:  $X^0 \in \partial_n^2$  и  $X^0 \in \partial_n^1$ .

Следуя [2], обозначим  $\overset{\circ}{\gamma}_{n-1}(X)$  пересечение конуса  $\gamma(X)$  с  $\Omega_n$ ; объединение  $\overset{\circ}{\gamma}_{n-1}(X)$  с точкой  $X$  обозначим  $\gamma_{n-1}(X)$ . В [2] доказана

**Л е м м а .** К  $\overset{\circ}{\gamma}_{n-1}(X)$  относятся те и только те точки  $X^* \in \Pi_n(X)$ , для которых уравнение

$$g(X^*, z) = g(X, z) \quad (8.14)$$

имеет на  $[0, 1]$  ровно  $n$  корней; для  $X^* \in \Pi_n(X) \setminus \gamma_{n-1}(X)$  уравнение (8.14) имеет менее  $n$  корней.

Фиксируем  $X^* \in \overset{\circ}{\gamma}_{n-1}(X)$ . Корни (8.14), упорядоченные по возрастанию, в соответствии с (8.12) назовем

$$z = \eta_j, \quad 0 \leq j \leq n-1, \quad \eta_0 = 0, \quad \eta_{n-1} = 1. \quad (8.15)$$

**Пример.** При  $n = 3$  и  $X^* \in \overset{\circ}{\gamma}_{n-1}(X)$  уравнение (8.14) имеет три корня: 0,  $\eta$  и 1, так что отрезки, составляющие по теореме о  $\gamma(X)$  множество  $\gamma_2(X)$ , естественно

параметризовать числом  $\eta \in (0, 1)$  и обозначать  $\ell(X, \eta)$ :

$$\gamma_2(X) = \bigcup \ell(X, \eta), \quad \eta \in (0, 1).$$

Аналогично в общем случае

$$\gamma_{n-1}(X) = \bigcup \ell(X, \eta_1, \dots, \eta_{n-2}), \quad 0 < \eta_1 < \dots < \eta_{n-2} < 1. \quad (8.16)$$

Если произвольно фиксировать в (8.16) отрезок  $\ell$ , то при всех  $X^* \in \ell$  уравнение (8.14) имеет, очевидно, одни и те же корни (8.15). Содержащие  $\ell$  гиперплоскости  $P(X, X^*, \eta_{k-1}) = 0$  являются (сравним с рис. 2) *опорными для конуса*  $K(X)$ . В любой точке  $X^0 \in \ell$  градиенты  $\nabla_k = \nabla g(X^0, \eta_{k-1})$ ,  $1 \leq k \leq n$ , служат внешними нормальными к этим опорным гиперплоскостям.

В [2] на основании леммы о корнях (8.14) была высказана

**Гипотеза.** Если максимум (8.13) достигается на  $\partial_n^2$ , то

$$X^0 \in \gamma_{n-1}(X). \quad (8.17)$$

Ее уточнения в [2] и доказательство в [3] связаны с разложением градиента  $\nabla h$  по градиентам  $\nabla_k$ .

**Градиенты  $\nabla h$  и  $\nabla g$ .** Пусть точка максимума (8.17) не совпадает с вершиной конуса:  $X^0 \neq X$ . Тогда  $X^0$  принадлежит одному из отрезков  $\ell$  в (8.16). В этом случае (см. [2]) градиент  $\nabla h = \nabla h(X^0)$  является линейной комбинацией соответствующих отрезку  $\ell$  градиентов  $\nabla_k = \nabla g(X^0, \eta_{k-1})$ ,  $1 \leq k \leq n$ :

$$\nabla h = \sum_k d_k \nabla_k. \quad (8.18)$$

Следуя [2], выпишем формулы для градиентов  $\nabla h$  и  $\nabla g$  в координатах  $(a, s)$ . С учетом равенства  $a_n = 1 - (a_1 + \dots + a_{n-1})$  оператор  $\nabla$  можно записать в виде  $\nabla = \{\partial / \partial s_1, \dots, \partial / \partial s_n, \partial / \partial a_1, \partial / \partial a_{n-1}\}$ . Для любых пар  $j, k$  положим

$$f_{jk} = \frac{1}{f_j f_k (f_j + f_k)}, \quad g_{jk} = g_{jk}(z) = \frac{1}{(z + s_j)(z + s_k)}. \quad (8.19)$$

Тогда

$$\nabla h = -\{a_1 f_{11}, \dots, a_n f_{nn}, (s_1 - s_n) f_{1n}, \dots, (s_{n-1} - s_n) f_{n-1,n}\},$$

$$\nabla g = \nabla g(z) = -\{a_1 g_{11}, \dots, a_n g_{nn}, (s_1 - s_n) g_{1n}, \dots, (s_{n-1} - s_n) g_{n-1,n}\},$$

Наряду с  $\nabla$  в [2] введен оператор  $\tilde{\nabla}$ . В обозначениях (8.19)

$$\tilde{\nabla} h(f) = \{f_{11}, \dots, f_{nn}, f_{1n}, \dots, f_{n-1,n}\}, \quad (8.20)$$

$$\tilde{\nabla} g = \tilde{\nabla} g(z, a, s) = \{g_{11}, \dots, g_{nn}, g_{1n}, \dots, g_{n-1,n}\}.$$

Положим

$$w_k = \eta_{k-1}, \quad 1 \leq k \leq n. \quad (8.21)$$

Используя (8.19), (8.20) и (8.21), перепишем (8.18) в следующей (эквивалентной) форме:

$$\tilde{\nabla} h(f^0) = \sum_k d_k \tilde{\nabla} g(w_k, a^0, s^0) \Leftrightarrow \frac{1}{f_i^0 f_j^0 (f_i^0 + f_j^0)} = \sum_k \frac{1}{(w_k + s_i^0)(s_j^0 + w_k)}. \quad (8.22)$$

В [2] было высказано предположение, что представление (8.22) возможно тогда и



только тогда, когда

$$(a^0, s^0) \in \mathfrak{M}_n, \quad (8.23)$$

где  $\mathfrak{M}_n$  – некоторое (точно описанное в [2]) подмножество  $\mathfrak{N}_n$ ; в терминах, введенных в данной статье (см. начало разд. 5 и примеч. 5), условие (8.23) равносильно следующему:

$$\{\eta_0 = 0, \eta_1, \dots, \eta_{n-2}, \eta_{n-1} = 1\} = \{w_1, \dots, w_n\} = \chi(f^0). \quad (8.24)$$

Назовем отрезок  $\ell$  в (8.16) *особым*, если он содержит точку  $X^0 \Leftrightarrow f^0$ , для которой выполняется (8.24). Используя данное определение, можем полностью сформулировать гипотезу (8.17) следующим образом:

*Пусть  $\max h(X^*)$  на  $\Pi_n(X)$  достигается в точке  $X^0 \in \partial_n^2 = \partial K(X) \cap \Omega_n$ . Тогда  $X^0 \in \gamma_{n-1}(X)$ . Если при этом  $X^0 \neq X$ , то среди отрезков (8.16) есть особый и  $X^0 \Leftrightarrow f^0$  – точка такого отрезка, удовлетворяющая условию (8.24)  $\prec \prec$ .*

Эта гипотеза получила подтверждение в [3]. С учетом леммы о корнях (8.14) и определений 1–4 (разд. 5, 6) из [3] следует, что представления (8.18) и (8.22) возможны тогда и только тогда, когда

$$f^0 \in \mathcal{F}_n^2, \quad f^0 \prec \prec f, \quad (8.25)$$

а числа  $d_k, w_k$  в (8.22) совпадают с  $d_k^0, w_k^0$  в (5.5),  $1 \leq k \leq n$ .

**З а м е ч а н и е .** В частности, из [3] вытекает, что все коэффициенты в линейной комбинации (8.18) положительны:

$$d_k > 0, \quad 1 \leq k \leq n. \quad (8.26)$$

**Уточнения теоремы 1.** Ввиду (8.25), верны следующие утверждения, уточняющие теорему 1 из разд. 2.

**У т в е р ж д е н и е 1.** *Если максимум (2.2) достигается на  $f^0 \in T_n(f)$  и  $f^0 \neq f$ , то  $f^0 \in \mathcal{F}_n^2$  и  $f^0 \prec \prec f^{(8)}$ .*

**У т в е р ж д е н и е 2.** *В случае (3.2) для  $f$  выполняется условие (4.5):  $f \in I(f^0)$ , так что функция  $f^0 \in T_n(f)$  определяется по  $f$  однозначно.*

Из уточненной теоремы 1 вытекает

**С л е д с т в и е .** Для доказательства теоремы о совпадении достаточно разобрать случай (3.3).

## 9. ТЕОРЕМА О СОВПАДЕНИИ

**Зоны влияния  $I_n(X^0)$  и  $J_n(X^0)$ .** Используя биективное соответствие  $\Omega_n \Leftrightarrow \{f\}_n$  (см. разд. 7), дополним определения 1–5 из разд. 5, 6.

При каждом  $n \geq 1$  обозначим  $\Omega_n^k$  подмножество  $\Omega_n$ , находящееся в биективном соответствии с  $\mathcal{F}_n^k$ ,  $k = 0, 1, 2$ ; согласно (6.8)  $\Omega_n^0 = \Omega_n^1 \cup \Omega_n^2$ ,  $\Omega_n^1 \cap \Omega_n^2 = 0$ . Так же, как в разд. 7, отождествим  $\Omega_m^k \subseteq \mathbf{R}^{2m-1}$  при  $m \leq n$  с подмножеством  $\mathbf{R}^{2n-1}$ . Для объединений  $\Omega_m^k$  по всем  $m$ ,  $1 \leq m \leq n$ , сохраним обозначение  $\mathcal{M}_n^k$  из (6.11):

$$\mathcal{M}_n^k = \Omega_1^k \cup \dots \cup \Omega_n^k \subset \mathbf{R}^{2n-1}, \quad k = 0, 1, 2. \quad (9.1)$$

Для множества  $\{w_1^0, w_2^0, \dots, w_m^0\}$  из определения 1 при  $f^0 \Leftrightarrow X^0 \in \Omega_m^0 \subset \mathcal{M}_n^0$  будем использовать (наряду с  $\chi(f^0)$ ) обозначение  $\chi(X^0)$ .

В согласии с (8.5) и определением 2 введем в  $\mathbf{R}^{2n-1}$  отношение частичной упорядоченности  $X^0 \prec\prec X$ . Пусть  $X^0 \in \Omega_m^0 \subset \mathbf{R}^{2n-1}$ ,  $X \in \mathbf{R}^{2n-1}$ , тогда  $X^0 \prec\prec X$ , если

- 1)  $X^0 \prec\prec X \Leftrightarrow P(X, X^0, z) \geq 0$  при  $z \in [0, 1]$ ,
- 2)  $P(X, X^0, w^0) / (w^0)^{n-m} = 0$  при  $w^0 \in \chi(X^0)$ .

Из (9.2) следует, что в точках  $w^0 \in \chi(X^0)$ , лежащих внутри  $(0, 1)$ , многочлен  $P(X, X^0, z)$  обращается в нуль вместе с производной по  $z$ :

$$X^0 \prec\prec X \Rightarrow P'(X, X^0, z) = 0 \quad \text{при всех } w^0 \in \chi(X^0) \cap (0, 1). \quad (9.3)$$

Точка  $z = 0$  является корнем  $P(X, X^0, z)$  кратности  $n - m + 1$  <sup>(9)</sup>.

Дополняя определение 3, назовем зонами влияния точек  $X^0 \in \mathcal{M}_m^0$  множества

$$I_n(X^0) = \{X \in \Omega_n \mid X^0 \prec\prec X\} \quad (9.4)$$

$$J_n(X^0) = \{X \in \mathbf{R}^{2n-1} \mid X^0 \prec\prec X\} \quad (9.5)$$

$J$ -зона (9.5) является расширением  $I$ -зоны (9.4), находящейся в биективном соответствии с  $I_n(f^0)$  (см. (5.4)):

$$I_n(f^0) \Leftrightarrow I_n(X^0) = J_n(X^0) \cap \Omega_n. \quad (9.6)$$

Для объединений  $I_n(X^0)$  и  $I_n(X^0) \setminus X^0$  по всем  $X^0 \in \mathcal{M}_m^0$  сохраним обозначения  $D_n$  и  $B_n$  из (6.12) и (6.14). Соответствия  $\{f\}_n \Leftrightarrow \Omega_n$  и  $I_n(f^0) \Leftrightarrow I_n(X^0)$  позволяют трактовать  $D_n$  и  $B_n$ , а также  $G_n$  из (6.14) и как подмножества  $\{f\}_n$ , и как подмножества  $\Omega_n$ :

$$B_n = D_n \setminus \Omega_n^0 \subseteq G_n = \Omega_n \setminus \Omega_n^0 \subset \Omega_n. \quad (9.7)$$

После проверки теоремы 7 можно будет утверждать (сравним с (6.13)), что

$$B_n = \bigcup (I_n(X^0) \setminus X^0), \quad X^0 \in \mathcal{M}_m^2. \quad (9.8)$$

**З а м е ч а н и е .** В несимметричности (6.13) по отношению к  $\mathcal{M}_n^1$  и  $\mathcal{M}_n^2$  отражается различие между одноточечными и основными зонами влияния. Соотношение (9.6) раскрывает истинную подоплеку этого различия, она – в расположении  $J$ -зон относительно  $\Omega_n$ :  $J$ -зоны влияния точек  $X^0 \in \mathcal{M}_{n-1}^1$  лежат вне  $\Omega_n$  при  $k = 1$  и пересекаются с  $\Omega_n$  при  $k = 2$ . Подробнее об этом – в разд. 10.

**Лемма о максимуме и теорема 7.** Убедимся в том, что верна следующая лемма (она понадобится при доказательстве (6.7) и (6.15)).

**Л е м м а о м а к с и м у м е .** Пусть

$$X^0 \prec X, \quad X \in \Omega_n, \quad X^0 \in \Omega_m \subset \partial_n^1, \quad h(X^0) = \max h(X^*), \quad X^* \in \Pi_n(X). \quad (9.9)$$

Тогда не может случиться, чтобы

$$X^0 \in \Omega_m^1. \quad (9.10)$$

«Предположим, что (вопреки лемме) для некоторых  $n$  и  $m < n$  существуют  $X$  и  $X^0$ ,

удовлетворяющие условиям (9.9) и (9.10), и пусть  $n$  – минимальный индекс, для которого (9.9) и (9.10) совместимы. Вследствие (8.9)

$$X^0 \prec Y \prec X \quad \text{для любой точки } Y \in (X^0, X]. \quad (9.11)$$

Ввиду минимальности  $n$  полуинтервал  $(X^0, X]$  не пересекается с  $\partial\Omega_n$ , т.е.  $(X^0, X] \in \Omega_n$ . Вследствие (9.9), (9.11) для любой точки  $Y \in (X^0, X]$

$$h(X^0) = \max h(Y^*), \quad Y^* \in \Pi_n(Y). \quad (9.12)$$

Для точек  $Y \in (X^0, X]$ , близких к  $X^0$ , из (9.10) следует (ввиду непрерывности отображения  $\chi$ ), что  $Y \in \Omega_n^1$ . Отсюда по теореме о строгом максимуме (применимой, так как  $Y \in I(Y)$ ,  $X^0 \in \Pi_n(Y)$  и  $X^0 \neq Y$ ) получаем:  $h(X^0) < h(Y)$ . Противоречие с (9.12) доказывает лемму.»

Из леммы, очевидно, следует свойство (6.7), так что попутно (вместе с леммой о максимуме) доказана теорема 7, а значит, – и соотношение (9.8).

**Доказательство теоремы о совпадении.** Докажем (6.15) по индукции. Тождество  $B_1 \equiv G_1$  очевидно. «Область  $\Omega_1$  совпадает с  $\Omega_1^1$  (так как любой функции  $f \in \{f\}_1$  множества  $\chi(f)$  содержит одну – единственную точку  $w = 0$ ). Следовательно, согласно (9.7)  $B_1 \equiv G_1$  – пустое множество.» Допустим, что

$$B_m \equiv G_m \quad \text{при } m < n, \quad (9.13)$$

и докажем, что тогда  $B_n \equiv G_n$ . Согласно следствию, завершающему разд. 8, достаточно рассмотреть эквивалентный (3.2) случай (9.9). Ввиду (9.13) в этом случае

$X^0 \in \Omega_m^0 = \Omega_m^1 \cup \Omega_m^2$ . «Если бы  $X^0 \in G_m \equiv B_m$ , то (по определению  $B_m$ ) нашлась бы точка  $Y^0 \prec X^0 \prec X$ , в которой  $h(Y^0) > h(X^0)$ , – а это противоречит (9.9).» По лемме о максимуме случай (9.10) исключается, т.е.

$$X^0 \in \Omega_m^2, \quad (9.14)$$

и остается проверить, что

$$X^0 \prec X. \quad (9.15)$$

Согласно (9.2) утверждение (9.15) могло бы быть неверным в единственном случае: если бы в какой-нибудь точке  $w_j \in \chi(X^0)$ ,  $1 \leq j \leq m$ , выполнялось строгое неравенство

$$g(X^0, w_j) < g(X, w_j). \quad (9.16)$$

Покажем, что (9.16) и (9.9) несовместимы. «Для малой окрестности  $\Delta_j = (w_j - \delta, w_j + \delta) = (w_j^-, w_j^+)$  точки  $w_j$  согласно (9.16)

$$g(X^0, z) < g(X, z) \quad \text{при } z \in \Delta_j. \quad (9.17)$$

Возьмем  $\delta > 0$  столь малым, чтобы  $w_k \notin \Delta_j$  при  $k \neq j$ , и рассмотрим многочлен

$P(z) = P_0 z^{2m-2} + \dots + P_{2m-2}$ , равный

$$z \prod_{\substack{1 < k < m \\ k \neq j}} (z - w_k)^2 (z - w_m^-)(z - w_m^+)(1 - z) \quad \text{при } 1 < j < m,$$

$$(z - w_1^+) \prod_{k=2}^m (z - w_k)^2 (1 - z) \quad \text{при } j = 1, \quad z \prod_{k=1}^{m-1} (z - w_k)^2 (w_m^- - z) \quad \text{при } j = m.$$

Для вектора-столбца  $P$ , составленного из его коэффициентов  $P_k$ ,  $0 \leq k \leq 2m-2$ , и для матрицы  $M = M_m(X^0)$  рассмотрим луч

$$Y(t) = X^0 + te, \quad \text{где } e = M^{-1}P, \quad t > 0. \quad (9.18)$$

По построению вектор  $e$  принадлежит пересечению гиперплоскостей

$$\{Y \in \mathbf{R}^{2m-1} \mid P(X^0, Y, w_k) = 0\}, \quad 1 \leq k \leq m, \quad k \neq j.$$

Поэтому его скалярные произведения с градиентами  $\nabla_k = \nabla g(X^0, w_k)$  равны нулю при  $k \neq j$ :

$$(e, \nabla_k) = 0, \quad 1 \leq k \leq m, \quad k \neq j. \quad (9.19)$$

В  $\delta$ -окрестности  $w_j$  многочлен  $P(z)$  отрицателен, так что

$$g(X^0, w_j) < g(Y(t), w_j) \quad \text{при } 0 < t < t^0. \quad (9.20)$$

Следовательно,

$$(e, \nabla_j) > 0. \quad (9.21)$$

Ввиду (9.14), (8.18) и (8.26)

$$\nabla = \nabla h(X^0) = \sum_{k=1}^m d_k \nabla_k, \quad d_k > 0, \quad 1 \leq k \leq m. \quad (9.22)$$

Из (9.19), (9.21) и (9.22) следует, что

$$(e, \nabla) = d_j (e, \nabla_j) > 0. \quad (9.23)$$

Пусть  $\delta$  в определении  $\Delta_j$  и  $t^0$  в (9.20) достаточно малы. Тогда (сравним с (9.17) и (9.20))

$$g(X^0, z) < g(Y(t), z) < g(X, z) \quad \text{при } z \in \Delta_j \text{ и } 0 < t < t^0.$$

Вне  $\Delta_j$  (при  $0 < z < 1$ ) многочлен  $P(z)$  положителен, т.е.

$$g(Y(t), z) < g(X^0, z) \leq g(X, z) \quad \text{при } z \in (0, 1), \quad z \notin \Delta_j \text{ и } 0 < t < t^0.$$

Итак, при малых  $t > 0$  точка (9.18) предшествует  $X$ :

$$Y = Y(t) \prec X \quad (9.24)$$

Вместе с тем, вследствие (9.23),  $h(Y) > h(X^0)$ , что (в сочетании с (9.24)), очевидно, противоречит (9.9) и, следовательно, доказывает теорему о совпадении.»

## 10. СТРОЕНИЕ И РАСПОЛОЖЕНИЕ ЗОН ВЛИЯНИЯ

По теореме о совпадении и вытекающей из нее теореме 3 каждая функция  $f \in \{f\}_n \subset \mathcal{F}$  принадлежит ровно одной зоне влияния  $I(f^0)$ : существует и единственна  $f^0 \in \mathcal{M}_n^0 = \mathcal{M}_n^1 \cup \mathcal{M}_n^2$  для которой

$$f^0 \prec\prec f \Leftrightarrow f \in I(f^0). \quad (10.1)$$

При этом, если  $f \in \mathcal{F}_n^0 \subset \mathcal{M}_n^0$ , то  $f^0 = f$ , если же  $f \in G_n$ , то  $f^0 \in \mathcal{M}_n^2$ .

Биективное соответствие  $\{f\}_n \Leftrightarrow \Omega_n$  позволяет дать эквивалентную (10.1) формулировку: для каждой точки  $X \in \Omega_n$  существует и единственна такая точка  $X^0 \in \mathcal{M}_n^0$ , что

$$X^0 \prec\prec X \Leftrightarrow X \in I_n(X^0) \subseteq J_n(X^0). \quad (10.2)$$

Переход от  $I$ -зон (9.6) к их расширениям –  $J$ -зонам (9.5) – приводит к следующему геометрическому описанию зон влияния. Множество  $J_n(X^0)$  в (10.2) – это *выпуклый конус* с вершиной  $X^0$ . Его *размерность* зависит от того, какому подмножеству (9.1) принадлежит  $X^0$ :

$$\text{если } X^0 \in \Omega_m^1 \subset \mathcal{M}_n^1 \quad (1 \leq m \leq n), \text{ то } \dim J_n(X^0) = 2(n - m), \quad (10.3)$$

$$\text{если } X^0 \in \Omega_m^2 \subset \mathcal{M}_n^2 \quad (1 < m \leq n), \text{ то } \dim J_n(X^0) = 2(n - m) + 1, \quad (10.4)$$

Таким образом  $J_n(Y)$  – это *точка*  $Y$  при  $Y \in \Omega_n^1$  (в согласии с теоремой 6), *луч*  $YX$  при  $Y \in \Omega_n^2$ , *двумерный* (или *трехмерный*) *конус* с вершиной  $Y$ , если  $Y \in \Omega_{n-1}^1$  (или  $Y \in \Omega_{n-1}^2$ ) и т.д. При этом (см. замечание к (9.8)) *нечетномерные конусы с вершинами*  $X^0 \in \mathcal{M}_n^2$  *дают в пересечении с*  $\Omega_n$  *основные зоны влияния*  $I_n(X^0) = J_n(X^0) \cap \Omega_n$ , *а четномерные конусы с вершинами*  $X^0 \in \mathcal{M}_n^1$  *не пересекают*  $\Omega_n$  (это следует из теоремы 7, утверждающей, что  $I_n(X^0) = J_n(X^0) \cap \Omega_n = 0$  при  $X^0 \in \mathcal{M}_n^1$ ).

Докажем, что  $J_n$  – выпуклые конусы, а затем объясним, как проверить (10.3) и (10.4). Фиксируем  $Y \in \Omega_m^0 \subset \mathbf{R}^{2m-1}$  и возьмем  $X^0 \Leftrightarrow Y$ ,  $X^0 \in \mathcal{M}_n^2 \subset \mathbf{R}^{2n-1}$  (так же, как в примеч. 9, точка  $X^0$  получается из  $Y$  добавлением  $2(n - m)$  координат  $x_k^0 = 0$ ,  $2m - 1 \leq k \leq 2n - 2$ ). Положим

$$M_n^0 = M_n(X^0) \quad (10.5)$$

и (подобно (8.4)) представим (9.5) в виде

$$J_n(X^0) = \{X \in \mathbf{R}^{2n-1} \mid M_n^0(X^0 - X) = P\}, \quad (10.6)$$

векторы-столбцы  $P$  в правой части составляются из коэффициентов  $P_0, \dots, P_{2n-2}$  всевозможных многочленов  $P(z)$ , удовлетворяющих условиям (9.2). Выпишем эти условия еще раз:

$$P(z) = P_0 z^{2n-2} + \dots + P_{2n-2} \geq 0 \quad \text{при } z \in [0, 1],$$

$$P(w_k) / w_k^{n-m} = 0 \quad \text{при } w_k \in \chi(X^0) = \chi(Y), \quad 1 \leq k \leq m. \quad (10.7)$$

Векторы  $P$ , для которых выполняется (10.7), очевидно, образуют выпуклый конус  $K^0$  с вершиной в начале координат. Поэтому из (10.6) следует, что  $J_n(X^0)$  – выпуклый конус

с вершиной  $X^0$ :

$$\text{если } X_{1,2} \in J_n(X^0), \quad \alpha_{1,2} > 0, \quad \alpha_1 + \alpha_2 = 1, \quad \text{то } \alpha_1 X_1 + \alpha_2 X_2 \in J_n(X^0), \quad (10.8)$$

$$\text{если } X \in J_n(X^0), \quad \alpha > 0, \quad \text{то } X^0 + \alpha(X - X^0) \in J_n(X^0), \quad (10.9)$$

«Докажем, например, (10.8): если  $M_n^0(X^0 - X_j) \in K^0$ ,  $j = 1, 2$ , то

$$M_n^0[X^0 - (\alpha_1 X_1 + \alpha_2 X_2)] = \alpha_1 M_n^0(X^0 - X_1) + \alpha_2 M_n^0(X^0 - X_2) \in K^0;$$

(10.9) доказывается аналогично.»

Как проверить (10.4), объясним на следующем примере.

Пусть  $n = 5, m = 3, Y = (y_0, y_1, y_2, y_3, y_4) \in \Omega_3^2, \chi(Y) = \{0, \eta, 1\}$ . Тогда

$X^0 = (y_0, y_1, y_2, y_3, y_4, 0, 0, 0, 0)$ . Согласно (10.7) (см. также (9.3))

$$P(X, X^0, z) = z^2[z(z - \eta)^2(1 - z)](A_0 z^2 + A_1 z + A_2),$$

$$A(z) = A_0 z^2 + A_1 z + A_2 \geq 0 \quad \text{на } [0, 1], \quad (10.10)$$

т.е.  $(A_0, A_1, A_2)$  образуют трехмерный конус  $K_3$  в пространстве параметров

$A_j, 0 \leq j \leq 2$ . Матрица (10.5) в рассматриваемом примере равна

$$M_5^0 = \begin{vmatrix} 1 & -1 & 0 & 0 & 0 & 0 & 0 & 0 & 0 \\ y_1 & -y_0 & 1 & -1 & 0 & 0 & 0 & 0 & 0 \\ y_3 & -y_2 & y_1 & -y_0 & 1 & -1 & 0 & 0 & 0 \\ 0 & -y_4 & y_3 & -y_2 & y_1 & -y_0 & 1 & -1 & 0 \\ 0 & 0 & 0 & -y_4 & y_3 & -y_2 & y_1 & -y_0 & 1 \\ 0 & 0 & 0 & 0 & 0 & -y_4 & y_3 & -y_2 & y_1 \\ 0 & 0 & 0 & 0 & 0 & 0 & 0 & -y_4 & y_3 \\ 0 & 0 & 0 & 0 & 0 & 0 & 0 & 0 & 0 \\ 0 & 0 & 0 & 0 & 0 & 0 & 0 & 0 & 0 \end{vmatrix}$$

Сопоставим ей невырожденную квадратную матрицу

$$M^* = \begin{vmatrix} 1 & -1 & 0 & 0 & 0 & 0 & 0 \\ y_1 & -y_0 & 1 & -1 & 0 & 0 & 0 \\ y_3 & -y_2 & y_1 & -y_0 & 1 & -1 & 0 \\ 0 & -y_4 & y_3 & -y_2 & y_1 & -y_0 & -1 \\ 0 & 0 & 0 & -y_4 & y_3 & -y_2 & -y_0 \\ 0 & 0 & 0 & 0 & 0 & -y_4 & -y_2 \\ 0 & 0 & 0 & 0 & 0 & 0 & -y_4 \end{vmatrix}$$

и перепишем систему уравнений (10.6), определяющую  $J_n(X^0)$ , в виде

$$M^* \begin{vmatrix} y_0 - x_0 \\ y_1 - x_1 \\ y_2 - x_2 \\ y_3 - x_3 \\ y_4 - x_4 \\ -x_5 \\ -x_7 \end{vmatrix} = \begin{vmatrix} P_0 \\ P_1 \\ P_2 \\ P_3 \\ P_4 \\ P_5 \\ P_6 \end{vmatrix} + x_6 \begin{vmatrix} 0 \\ 0 \\ 0 \\ 1 \\ y_1 \\ y_3 \\ 0 \end{vmatrix} + x_8 \begin{vmatrix} 0 \\ 0 \\ 0 \\ 0 \\ 1 \\ y_1 \\ y_3 \end{vmatrix} \quad (10.11)$$

В правой части (10.11)  $P_k = P_k(A_0, A_1, A_2)$  – коэффициенты многочлена  $P(z)/z^2 = z(z-\eta)^2(1-z)(A_0z^2 + A_1z + A_2)$ . Следовательно, они связаны четырьмя линейными соотношениями

$$0 = P_6 = P_0 + P_1 + \dots + P_5 = P_0\eta^5 + P_1\eta^4 + \dots + P_5 = 5P_0\eta^4 + 4P_0\eta^3 + \dots + P_4. \quad (10.12)$$

В трехмерном подпространстве (10.12) условие (10.10) выделяет конус, аффинно эквивалентный  $K_3 = \{A_0, A_1, A_2\}$ . Кроме того, в (10.11) – еще два независимых параметра  $x_6$  и  $x_8$ . Остальные  $x_k$  ( $0 \leq k \leq 5$  и  $k=7$ ) ввиду невырожденности  $M^*$  определяются по  $A_0, A_1, A_2, x_6$  и  $x_8$  однозначно. Итак, в данном примере  $\dim J_n(X^0) = 5$  в согласии с (10.4).

В общем случае подсчет числа независимых параметров проводится по той же схеме; (10.3) проверяется аналогично.

## 11. ТЕОРЕМА О РАССЛОЕНИИ

Подведем итоги и точно сформулируем теорему о расслоении, описанную в общих чертах в начале статьи.

В  $\mathbb{R}^N$ ,  $N = 2n - 1$ , построены две системы конусов, задающие два отношения частичной упорядоченности:  $X \prec X^*$  и  $X^0 \prec X$ .

Каждой точке  $X = (x_0, x_1, \dots, x_{2n-2}) \in \mathbb{R}^N$ , соответствует конус  $K(X)$  с вершиной  $X$ ; точка  $X^* \in \mathbb{R}^N$  предшествует  $X(X^* \prec X)$ , если  $X^* \in K(X)$ .

В первом ортанте  $\mathbb{R}^N$  расположена область  $\Omega_n$ ;  $\Gamma_n$  – ее граница в полупространстве  $x_{2n-2} > 0$ ;  $\bar{\Gamma}_n$  – замыкание  $\Gamma_n$ . В  $\tilde{F}_n = \Omega_n \cup \bar{\Gamma}_n$  задана функция  $h$ . Для каждой точки  $X \in \Omega_n$  нужно найти

$$S(X) = \sup h(X^*), \quad X^* \in K(X) \cap \tilde{F}_n. \quad (11.1)$$

А priori не ясны ни существование, ни (тем более) единственность точки  $X^0$ , в которой верхняя грань (11.1) достигается<sup>(10)</sup>.

Область  $\Omega_n$  находится в биективном соответствии с множеством  $\mathfrak{N}_n$  наборов  $(a, s) = \{a_1, \dots, a_n, s_1, \dots, s_n\}$ , удовлетворяющих соотношениям

$$0 < s_1 < \dots < s_n; \quad a_j > 0, \quad 1 \leq j \leq n; \quad a_1 + \dots + a_n = 1. \quad (11.2)$$

В координатах (11.2) при  $X \in \Omega_n \Leftrightarrow (a, s) \in \mathfrak{N}_n$

$$h(X) = h(a, s) = a_1 / \sqrt{s_1} + \dots + a_n / \sqrt{s_n}. \quad (11.3)$$

Аналогично при  $Y^0 \in \Omega_m \Leftrightarrow (a^0, s^0) \in \mathfrak{N}_m$ ,  $m < n$

$$h(Y^0) = h(a^0, s^0) = a_1^0 / \sqrt{s_1^0} + \dots + a_m^0 / \sqrt{s_m^0}. \quad (11.4)$$

Добавляя к координатам  $Y^0 = (y_0^0, y_1^0, \dots, y_{2m-2}^0)$  еще  $2(n-m)$  нулевых координат, получаем из  $Y^0$  точку  $X^0 \in \bar{\Gamma}_n$ :

$$X^0 = (y_0^0, y_1^0, \dots, y_{2m-2}^0, 0, \dots, 0) \Leftrightarrow (a^0, s^0) \in \mathfrak{N}_m. \quad (11.5)$$

Соотношение (11.4) связывает задачу поиска (11.1) с рациональными 1-аппроксимациями  $r_0(s)$  функции  $1/\sqrt{s}$  в точках  $s_1^0, \dots, s_m^0$ :

$$r^0(s) = d_0^0 + \sum_{k=1}^m d_k^0 / (s + w_k^0), \quad 0 = w_1^0 < w_2^0 < \dots < w_m^0. \quad (11.6)$$

Отображение  $\chi = \chi(X^0)$  сопоставляет любой точке (11.5) множество  $\{w_1^0, w_2^0, \dots, w_m^0\}$  в (11.6). По определению

$$X^0 \in \Omega_m^0, \quad X^0 \in \Omega_m^1, \quad X^0 \in \Omega_m^2 \quad \text{или} \quad X^0 \in G_m \quad (11.7)$$

в зависимости от того, какое из условий выполняется для  $w_m^0 \in \chi(X^0)$ :

$$w_m^0 \leq 1, \quad w_m^0 < 1, \quad w_m^0 = 1 \quad \text{или} \quad w_m^0 > 1. \quad (11.8)$$

В (11.7), (11.8)  $m < n$ ; с помощью (11.3) аналогичное определение дается для  $m = n$ , так что  $G_n = \Omega_n \setminus \Omega_n^0$ .

Для каждой точки  $X^0 \in \Omega_m^k$  ( $m \leq n$ ) построен выпуклый конус  $J_n(X^0)$  с вершиной  $X^0$ ;  $\dim J_n(X^0) = 2(n-m) + k - 1$ ,  $k = 1, 2$ ; по определению  $X^0 \prec X$ , если  $X \in J_n(X^0)$ . Пересечение  $I_n(X^0) = J_n(X^0) \cap \Omega_n$  называется зоной влияния точки  $X^0$ . Зоны влияния попарно не пересекаются:

$$I_n(X_1^0) \cap J_n(X_2^0) = 0 \quad \text{при} \quad X_1^0 \neq X_2^0, \quad (11.9)$$

а их объединение совпадает с  $\Omega_n$ .

Основными являются зоны влияния точек  $X^0 \in \Omega_m^2$ ,  $1 < m \leq n$  (пересечения с  $\Omega_n$  нечетномерных конусов  $J_n(X^0)$ ). Для них объединение  $J_n(X^0) \setminus X$  совпадает с  $G_n$ :

$$G_n = \bigcup (I_n(X^0) \setminus X^0), \quad X^0 \in \mathcal{M}_0 = \Omega_2^2 \cup \dots \cup \Omega_n^2. \quad (11.10)$$

Вследствие (11.9), (11.10) каждая точка  $X \in G_n$  принадлежит ровно одному лучу  $\mathcal{L}(X^0, X) \subseteq J_n(X^0)$ ,  $X^0 \in \mathcal{M}_0$ . Таким образом, верна

*Теорема о расслоении. Лучи, составляющие конусы  $J_n(X^0)$ ,  $X^0 \in \mathcal{M}_0$ , образуют расслоение  $G_n$ : через каждую точку  $X \in G_n$  проходит ровно один такой луч  $\mathcal{L}(X^0, X)$ .*

В терминах теоремы о расслоении решению задачи поиска (11.1) можно придать такую форму:

$$S(X) = \begin{cases} h(X), & \text{если } X \in \Omega_n^0, \\ h(X^0), & \text{если } X \in \mathcal{L}(X^0, X) \cap G_n. \end{cases} \quad (11.11)$$

В (11.11) содержится теорема существования и единственности точки множества  $\mathcal{M} = \mathcal{M}_0 \cup \Omega_n^0$ , в которой верхняя грань (11.1) достигается.



## КОММЕНТАРИИ И ПРИМЕЧАНИЯ

1. Было бы неверно думать, что при  $f \in \{f\}_n$ ,  $f^* \in \{f\}_q$  и  $q > n$  из условия  $f^* \prec f$  следует неравенство  $h^* < h$ , тем неожиданнее вторая часть теоремы 2 – утверждение (2.4).

2. Далеко идущие обобщения (3.1) дают теоремы 6 и 7.

3. В [2] был приведен пример функции  $f \in \{f\}_3$ , для которой  $f^0 \in \{f\}_2$ . В разд. 5 (см. определения 1–3) будет дана классификация функций  $f \in \{f\}_n$ , согласованная с (3.2), (3.3); ее геометрическое истолкование – в разд. 10.

4. Согласно [5] аналогичное экстремальное свойство присуще рациональным 1-аппроксимациям (5.2) функций  $\varphi(s)$  класса  $S^-$  (при этом  $r(s)$  называется 1-аппроксимацией  $\varphi(s)$  в точках  $s_1, \dots, s_m$ , если  $r(s_k) = \varphi(s_k)$ ,  $r'(s_k) = \varphi'(s_k)$ ,  $1 \leq k \leq m$ ). В [4] будет использован тот факт, что  $S^-$  содержит зависящую от параметра  $z$  функцию

$$\varphi(s, z) = \frac{2}{\pi} \frac{\operatorname{arctg} \sqrt{s/z}}{\sqrt{s}} = \frac{2}{\pi} \int_z^\infty \frac{d\sqrt{t}}{s+t}, \quad s > 0, \quad z \in (0, 1).$$

Отметим, что  $\varphi(s, z) \rightarrow 1/\sqrt{s}$  при  $z \rightarrow 0$ .

5. Множество  $\chi(f)$  связано с  $f$  явными формулами. Пусть  $f_1, \dots, f_m$  значения, принимаемые функцией  $f \in \{f\}_m$ . Рассмотрим элементарные симметрические многочлены  $v_j = v_j(f_1, \dots, f_m)$ :

$$(z + f_1) \dots (z + f_m) = z^m + v_1 z^{m-1} + \dots + v_j z^{m-j} + \dots + v_m.$$

Тогда (см. [3] точки  $w_k \in \chi(f)$ ,  $1 \leq k \leq m$  – это корни полинома  $zQ(-z)$ , где

$$Q(z) = \begin{cases} (v_1 z^{p-1} + v_3 z^{p-2} + \dots + v_{2p-1})(z^p + v_2 z^{p-1} + \dots + v_{2p}) & \text{при } m = 2p, \\ (z^p + v_2 z^{p-1} + \dots + v_{2p})(v_1 z^p + v_3 z^{p-1} + \dots + v_{2p+1}) & \text{при } m = 2p + 1. \end{cases}$$

Примеры: 1) при  $f \in \{f\}_1$  множество  $\chi(f)$  содержит ровно одну точку  $w_1 = 0$ , т.е.  $\mathcal{F}_1^0 \equiv \{f\}_1$ ; 2) при  $m = 2$   $\chi(f) = \{0, v_2\}$ , т.е.  $f \in \mathcal{F}_2^0$ , если  $f_1 f_2 \leq 1$ ; 3) при  $m = 3$   $\chi(f) = \{0, v_3 / v_1, v_2\}$  так что  $f \in \mathcal{F}_3^0$ , если  $f_1 f_2 + f_2 f_3 + f_3 f_1 \leq 1$ . Вообще  $f \in \mathcal{F}_m^0$ , если (для  $p = [m/2]$ ) наименьший корень многочлена  $z^p + v_2 z^{p-1} + \dots + v_{2p}$  больше или равен  $-1$ .

6. В случае  $X^0 \in \mathcal{M}_m^2 \subset \partial_n^1$  функция  $h$  принимает максимальное значение во всех точках страта  $\Gamma_{nm}$ , являющихся прообразами  $f^0 \Leftrightarrow X^0$  при отображении (7.16).

7. В [2] это сформулировано так (сравним с леммой о числе корней уравнения (8.14)):

**Гипотеза 1.** Каковы бы ни были  $(a, s) \in \mathcal{M}_n$  и  $w_1, \dots, w_{n-1}$  на  $[0, 1]$ , градиент  $\nabla h(a, s)$  не является линейной комбинацией градиентов  $\nabla g(w_1, a, s), \dots, \nabla g(w_{n-1}, a, s)$ .

**Гипотеза 2.** При  $(a^*, s^*) \in \mathcal{M}_n$  и  $0 = \eta_0 < \eta_1 < \dots < \eta_{n-2} < \eta_{n-1} = 1$  градиент  $\nabla h(a^*, s^*)$  является линейной комбинацией градиентов  $\nabla g(\eta_j, a^*, s^*)$ ,  $0 \leq j \leq n-1$ , тогда и только тогда, когда  $(a^*, s^*) \in \mathcal{M}_n$ .

8. В более общей ситуации аналогичное утверждение подробнее доказано в [4].

9. Приведем пример пары точек, связанных соотношением  $X^0 \prec\prec X$ . Пусть  $n = 4$ ,  $g(z) = g(X, z) = [(z+2)(z+4)(z+6)] / [(z+1)(z+3)(z+5)(z+7)] = (z^3 + 12z^2 + 44z + 48) / (z^4 + 16z^3 + 86z^2 + 176z + 105)$ . Отсюда, учитывая теорему Эрмита–Билера,  $X = (16, 12, 86, 44, 176, 48, 105) \in \Omega_4 \subset \mathbf{R}^7$ . Положим  $m = 2$ ,  $Y = (y_0, y_1, y_2 = 1) = (4078/1225, 16/35, 1)$ ; числа  $y_0, y_1$  выбраны так, чтобы функция  $g^0(z) = (z + y_1) / (z^2 + y_0z + y_2)$  была равна  $g(z)$  при  $z = 0$  и  $z = 1$ :  $g^0(0) = g(0) = 16/35$ ,  $g^0(1) = g(1) = 35/128$ .

Так как определители Гурвица  $H_j(Y)$ ,  $1 \leq j \leq 4$ , положительны:

$$H_1 = 1, \quad H_2 = \frac{4078}{1225} - \frac{16}{35} = \frac{3518}{1225}, \quad H_3 = \frac{3518}{1225} \cdot \frac{16}{35} - 1 > 0, \quad H_4 = H_3 y_2 = H_3,$$

то  $Y \in \Omega_2$ . Поскольку  $y_2 = 1$ , то (вследствие примеч. 5)  $\chi(Y) = \{0, 1\}$ . Поэтому  $Y \in \Omega_2^*$ .

Полагая  $X^0 = (y_0, y_1, y_2, 0, 0, 0, 0)$ , получаем  $\chi(X^0) = \chi(Y) = \{0, 1\}$ .

$$g(X^0, z) = g^0(z) = [(1225z + 560)z^2] / [(1225z^2 + 4078z + 1225)z^2].$$

Отсюда (с точностью до постоянного множителя)

$$P(X, X^0, z) = z^2 [(z+2)(z+4)(z+6)(1225z^2 + 4078z + 1225) - (z+1)(z+3)(z+5)(z+7)(1225z + 560)] = z^2 Q(z).$$

Легко убедиться в том, что  $Q(-3) < 0$ ,  $Q(-5) > 0$ ,  $Q(-7) < 0$ , т.е., кроме корней 0 и 1, многочлен  $Q(z)$  имеет два отрицательных корня в интервале  $(-7, -3)$ . Следовательно,

$$P(X, X^0, z) > 0 \text{ при } z \in (0, 1) \text{ и } P(X, X^0, z) / z^2 = 0 \text{ при } z \in \chi(X^0),$$

так что  $X^0 \prec\prec X$ .

10. О единственности  $X^0$  можно говорить, разумеется, только с учетом примеч. 6.

Работа выполнена при финансовой поддержке Международного Научного Фонда Джорджа Сороса "Культурная инициатива". Благодарю Фонд за предоставление гранта.

#### ЛИТЕРАТУРА

1. Гервер М.Л. Волноводы и устойчивые многочлены. I // Компьютерный анализ геофизических полей. М.: Наука. 1990. С. 182–205. (Вычисл. сейсмология; вып. 23).
2. Гервер М.Л. Волноводы и устойчивые многочлены. II // Современные методы интерпретации сейсмологических данных. М.: Наука. 1991. С. 102–148. (Вычисл. сейсмология; вып. 24).
3. Гервер М.Л. Волноводы и устойчивые многочлены. III // Проблемы прогноза землетрясений и интерпретация сейсмологических данных. М.: Наука. 1992. С. 187–199. (Вычисл. сейсмология; вып. 25).
4. Гервер М.Л. Волноводы, 1-аппроксимации, устойчивые многочлены и расслоения в задаче обращения годографа // МИТП. РАН. Препринт. М., 1994. 32 с.
5. Крейн М.Г., Нудельман А.А. Проблема моментов Маркова и экстремальные задачи. М.: Наука, 1973. 552 с.
6. Карлин С., Стадден В. Чебышевские системы и их применение в анализе и статистике. М.: Наука, 1976. 568 с.